

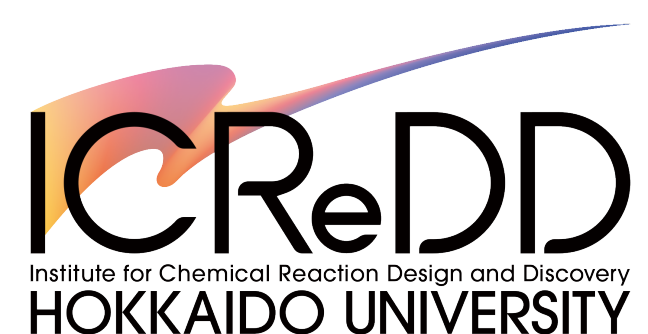
# 分子のグラフ表現と機械学習の最近

第33回 理研AIP Open Seminar  
2021年7月14日

瀧川 一学

ichigaku.takigawa@riken.jp

理化学研究所 革新知能統合研究センター  
iPS細胞連携医学的リスク回避チーム



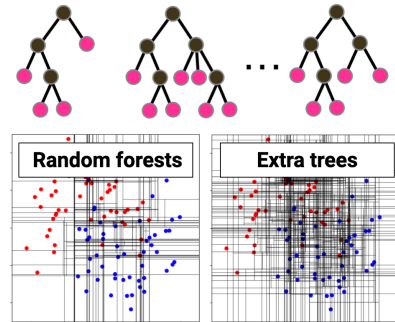


## 機械学習 + 幹細胞生物学

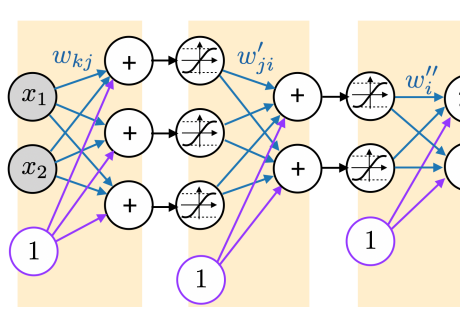


理化学研究所 革新知能統合研究センター

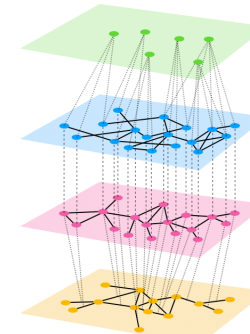
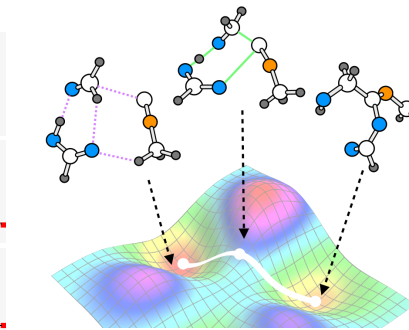
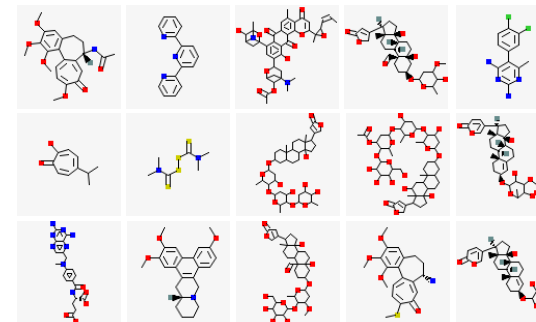
研究の関心：離散構造・組合せ構造を伴う機械学習  $\longleftrightarrow$  機械学習 + 自然科学



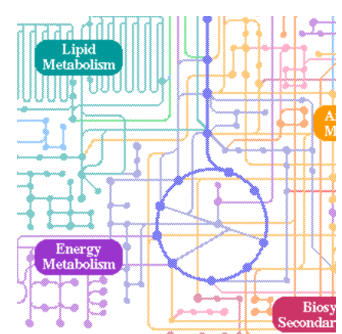
モデルが離散構造



対象が離散構造



対象間の関係が離散構造

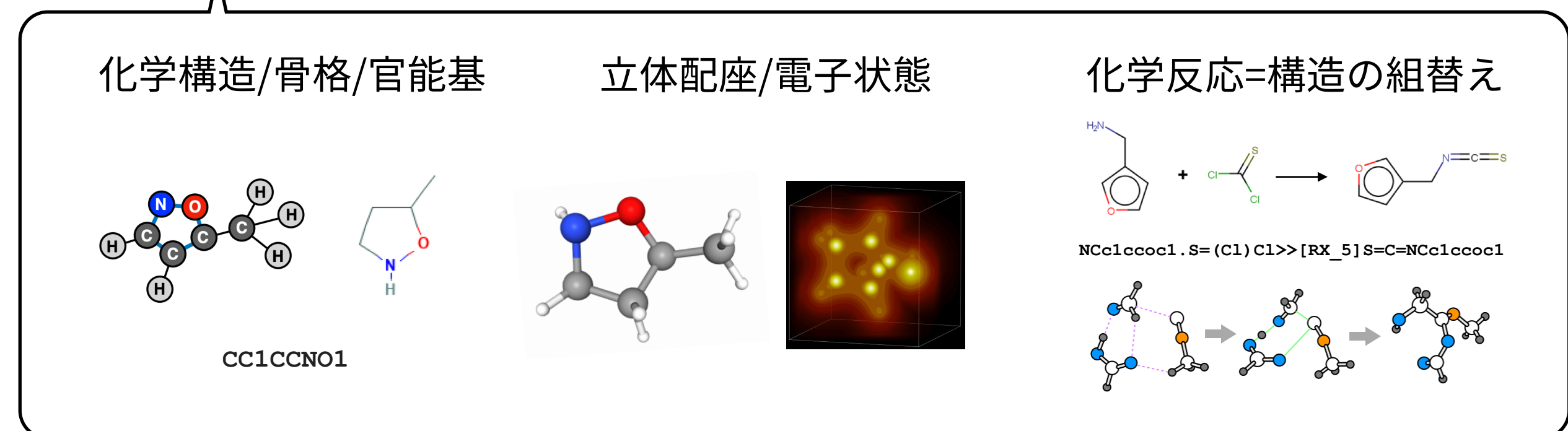
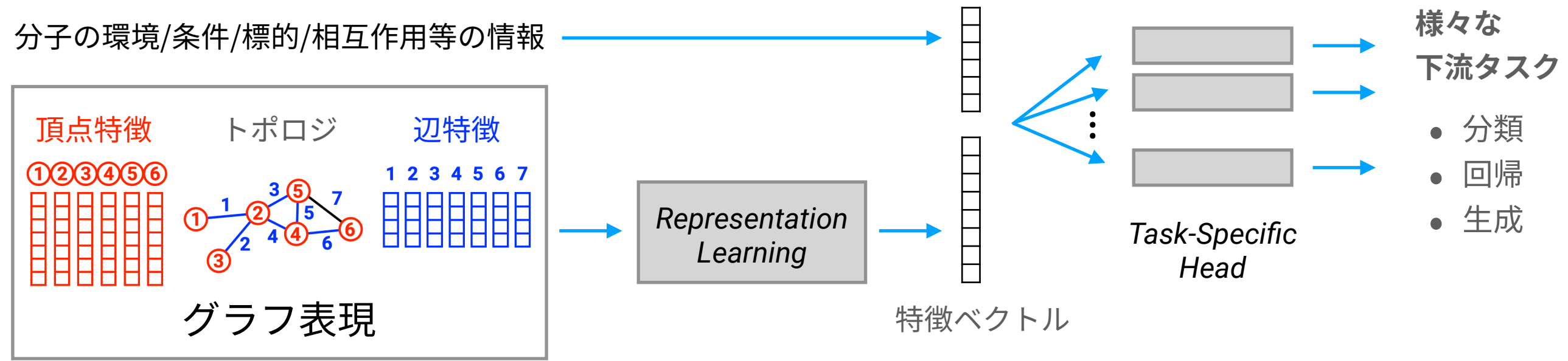


- 科学研究費補助金

- 基盤研究(C) グラフ表現学習の転移性・構成性の獲得とその実践 (瀧川一学)
- 基盤研究(A) 離散構造処理系に基づく列挙と最適化の統合的技法の研究 (湊真一)
- 学術変革領域(A) 新しい概念に基づいたアルゴリズム・最適化の問題創出とその効率的求解方法の研究 (宇野毅明)
- 基盤研究(S) 非平衡過程の実空間観察手法の転換：TEMによる溶液からの核生成過程の解明 (木村勇気)
- 挑戦的研究(開拓) 化学における外挿探索を可能とする機械学習手法の開発と実証 (鳥屋尾 隆)
- 世界トップレベル研究拠点(WPI)プログラム 化学反応創成研究拠点 (前田 理)
- JST-CREST 学習/数理モデルに基づく時空間展開型アーキテクチャの創出と応用 (本村真人)
- JST-CREST 触媒インフォマティクスの創成のための実験・理論・データ科学研究 (清水研一)

# 本日の話題：分子のグラフ表現 + 機械学習

Q. 分子のどんな情報をどんな表現で機械学習へ入力すれば良いのか？



# なぜグラフか？分子表現の組合せ論的側面 1/3

- 有機化合物は限られた元素(主にC/H/O/N/S/P/ハロゲン)の規則的な組合せ
  - “グラフ”という用語は數学者Sylvesterの化学構造の代数的列挙で初登場 (初登場以来の長年の因縁)  
J.J.Sylvester, Chemistry and Algebra, *Nature*, 17:284 (1878).
  - ReymondグループのChemical Spaceの列挙研究
    - GDB-11 (Fink+, *JCIM* 2007) C,N,O,Fによる11原子以下の分子の全列挙 (2640万)
    - GDB-13 (Blum+, *JACS* 2009) C,N,O,S,Clによる13原子以下の分子の全列挙 (9億7700万)
    - GDB-17 (Ruddigkeit+, *JCIM* 2012) C,N,O,S,ハロゲンによる17原子以下の分子の全列挙 (1,664億)
- 明確な構成性/モジュール性 (言語-文法的?=要素の組合せで複雑なものを生成)
 

$R_1$	$R_2$	$R_3$	には様々な置換基が入れられる		
Hydrogen	Methyl	Ethyl	Phenyl	Benzyl	Isopropyl
Carboxyl	Cyclohexyl	Tert-butyl	Trifluoromethyl	adamantlyl	...

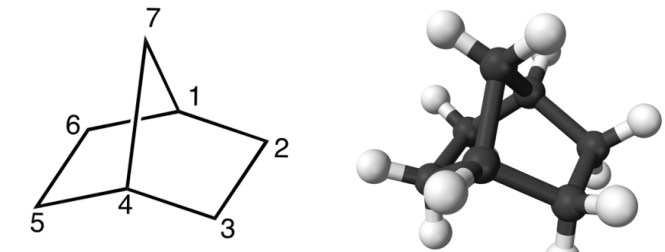
# なぜグラフか？分子表現の組合せ論的側面 2/3

- 部分構造検索・部分一致マッチングのニーズ

[https://pubchem.ncbi.nlm.nih.gov/#query=C12CC\(C\(CC1\)C2\)C](https://pubchem.ncbi.nlm.nih.gov/#query=C12CC(C(CC1)C2)C)



About Blog Submit Contact



Norbornane (ノルボルナン)

SEARCH FOR

C12CC(C(CC1)C2)C

Treating this as a structure search for a SMILES identifier. Switch to SMARTS.

Identity (1)	Similarity (710)	Substructure (>1,000)	Superstructure (886)	3D Similarity (>827)	<input type="button" value="Settings"/>
-----------------	---------------------	--------------------------	-------------------------	-------------------------	---

Find structures very closely related to the input, comparing chemical connectivity, and optionally stereoisomers and isotopes.

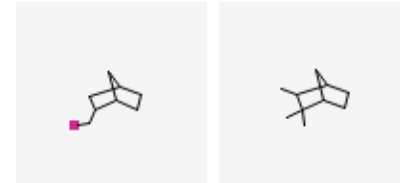
## 厳密一致検索

クエリ構造と同じ



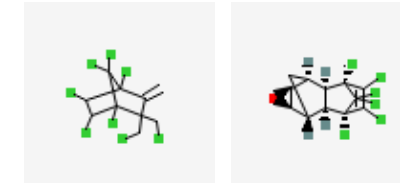
## 類似性検索

クエリと類似



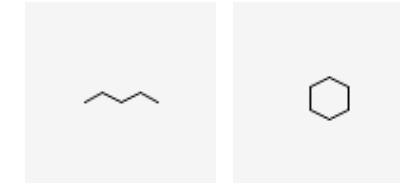
## 部分構造検索

クエリ構造を含む



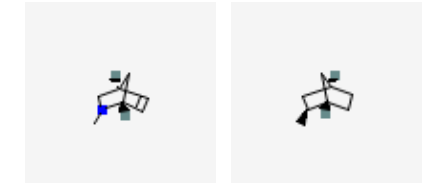
## 上部構造検索

クエリ構造に含まれる



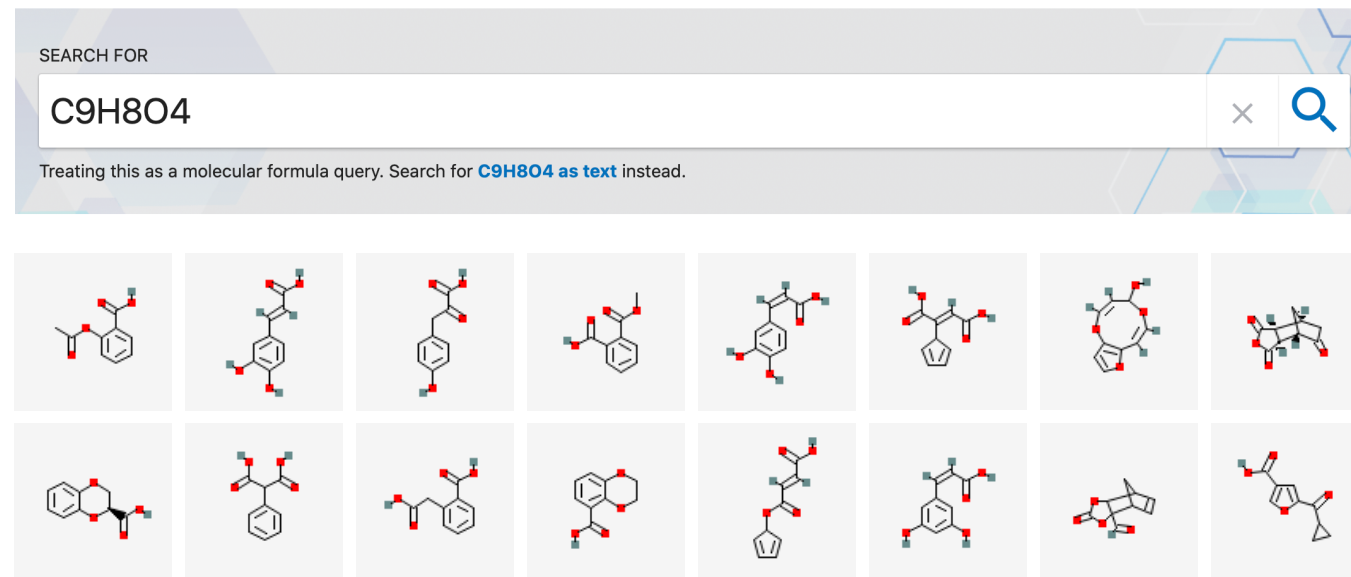
## 立体類似性検索

クエリ構造と立体的に類似



# なぜグラフか？分子表現の組合せ論的側面 3/3

- 異性体とルールベースの分子生成



<https://www.molgen.de/online.html>

Input formula:

formula:

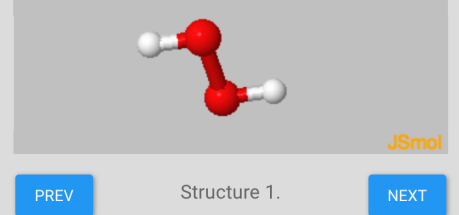
C0-100H0-100N[val=3]0-10000-100

molecular mass:

1-40

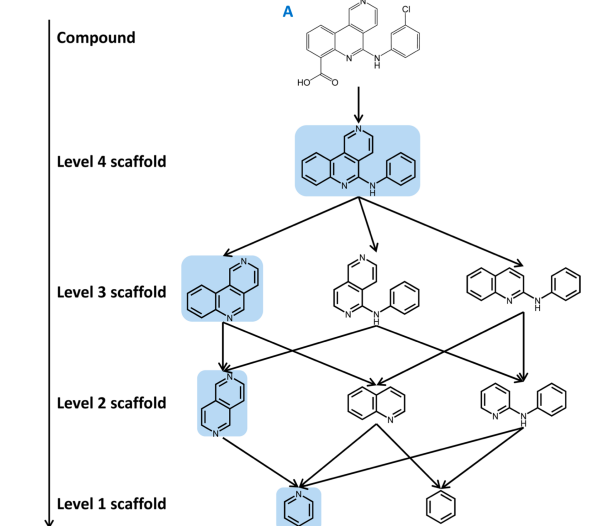
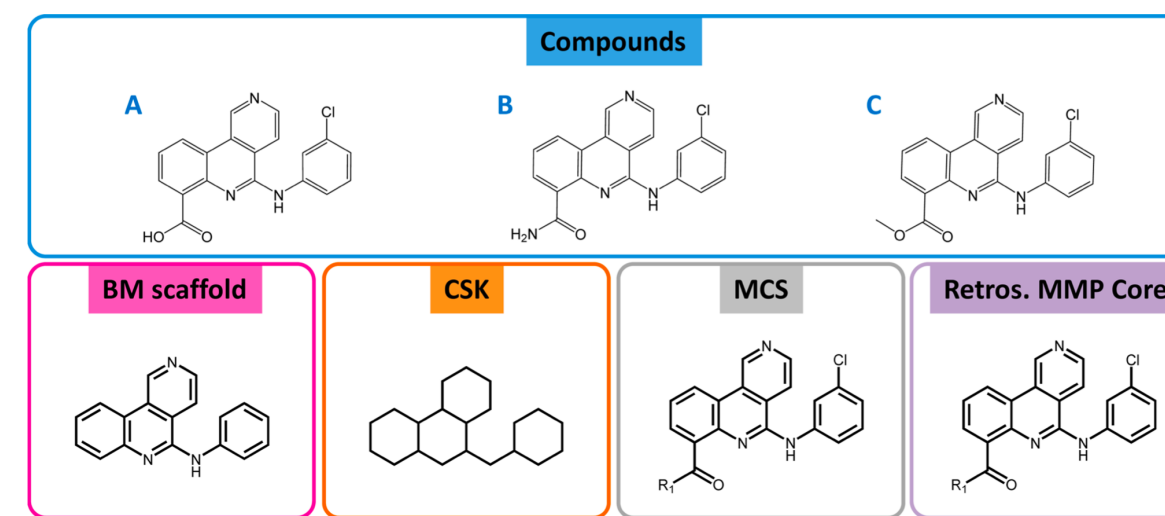
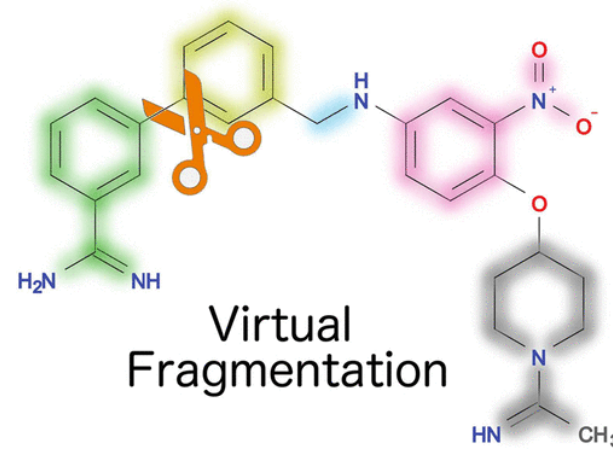
MOLGEN online

29 structures (finished):



**EXAMPLE 5:** Generate all (theoretically possible) structures of mass  $\leq 40$  with elements, C, H, N<sup>3</sup>, O

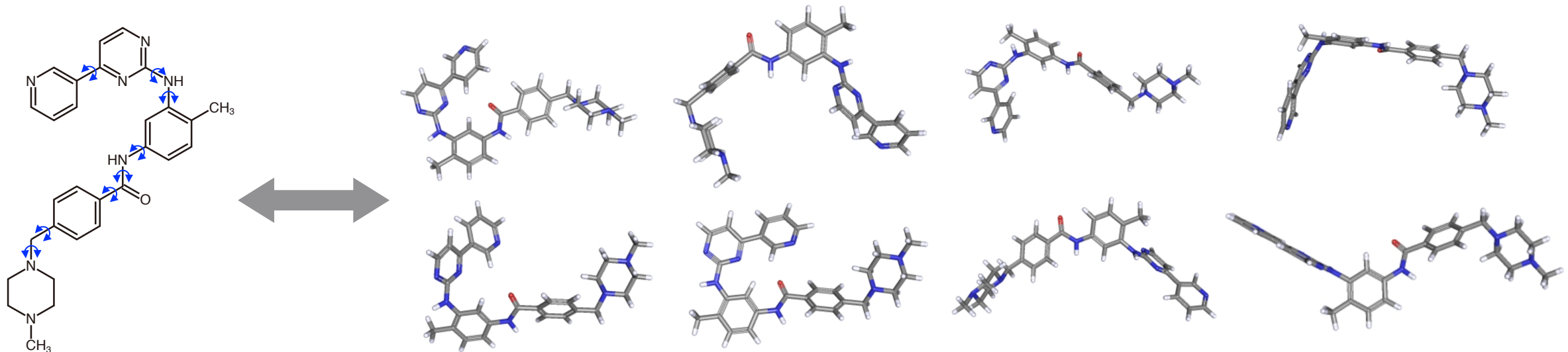
- 分子のコアやパーツの類似性：分子骨格(Scaffold)とフラグメント



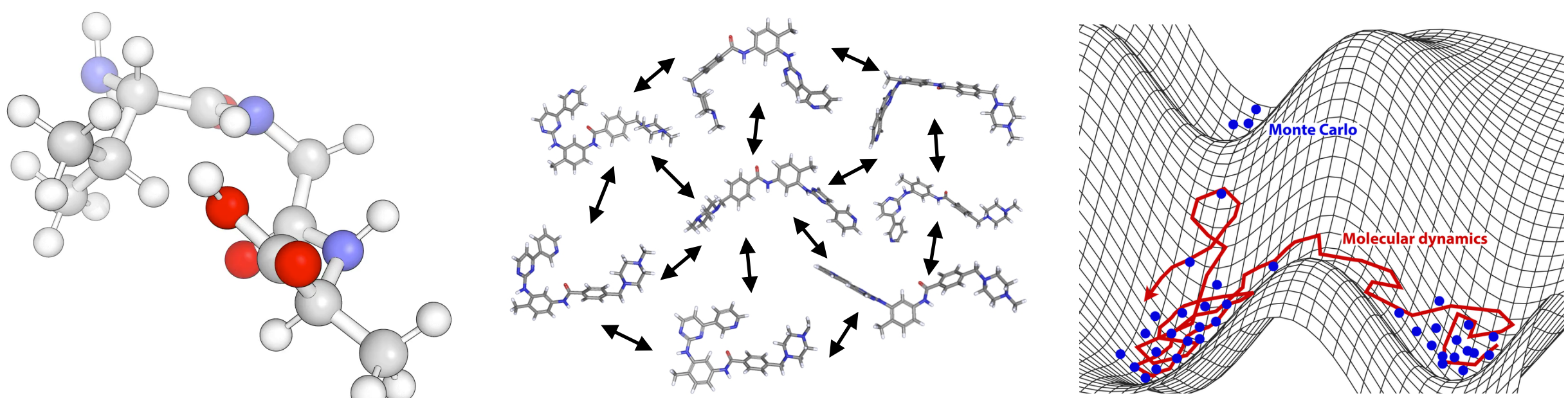
Liu, Naderi, Alvin, Mukhopadhyay, Brylinski, *JCIM* (2017) <https://doi.org/10.1021/acs.jcim.6b00596>  
 Hu, Stumpfe, Bajorath, *J Med Chem* (2016) <https://doi.org/10.1021/acs.jmedchem.5b01746>

# Reality Bites ! 明らかな非組合せ論的側面 1/2

- 実際は3次元的な形を取る + 単結合の自由な回転で立体配座に多様性がある



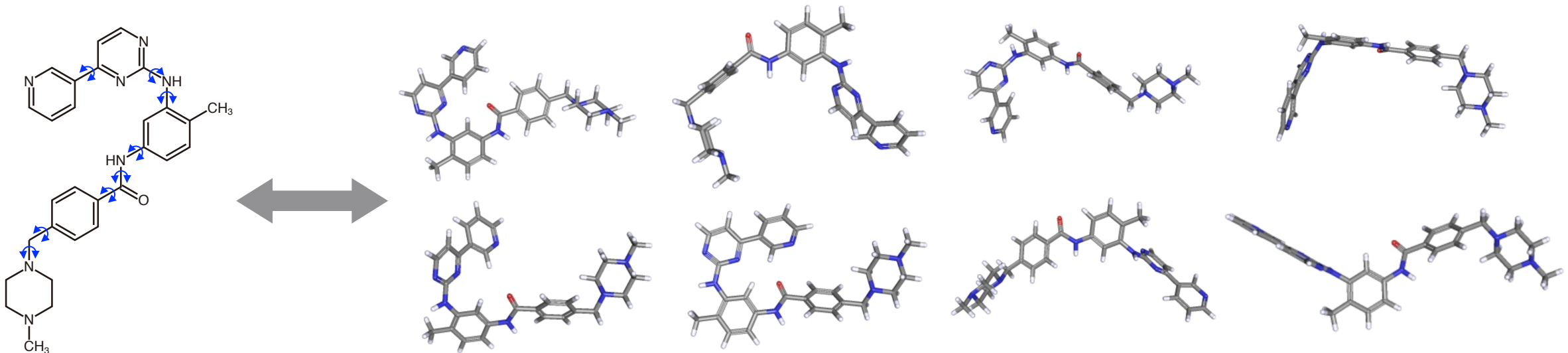
- 構造は剛体的ではなく熱力学的なダイナミクスで変動・振動



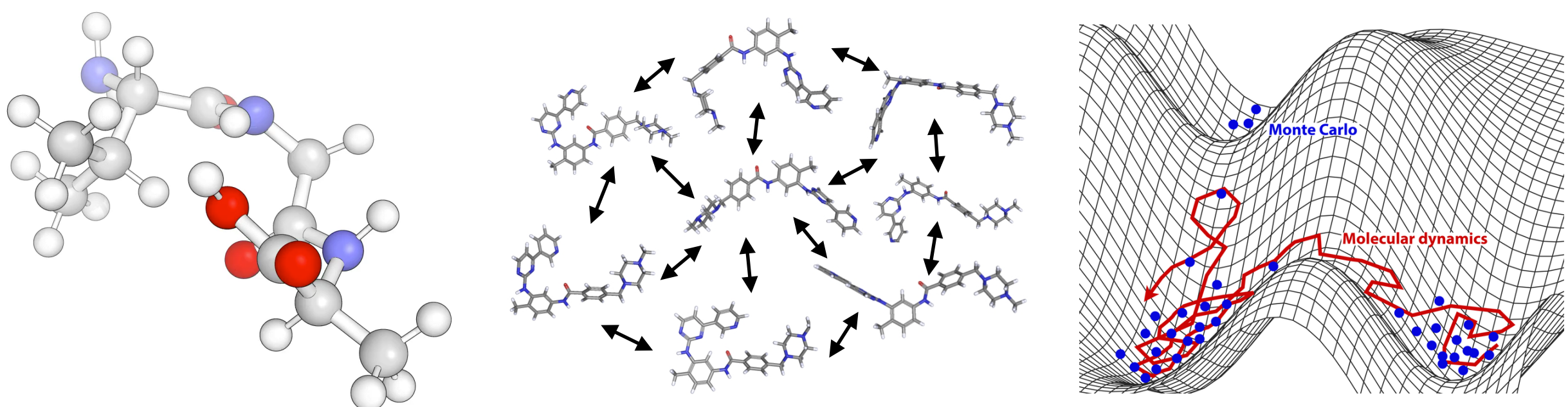
[https://en.wikipedia.org/wiki/Molecular\\_dynamics](https://en.wikipedia.org/wiki/Molecular_dynamics)

# Reality Bites ! 明らかな非組合せ論的側面 1/2

- 実際は3次元的な形を取る + 単結合の自由な回転で立体配座に多様性がある



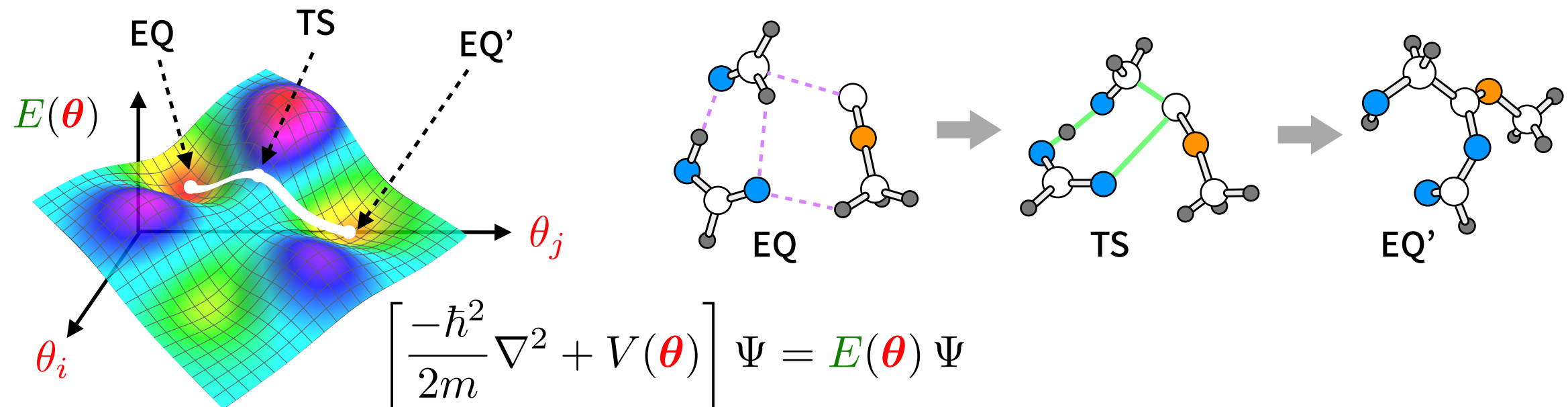
- 構造は剛体的ではなく熱力学的なダイナミクスで変動・振動



[https://en.wikipedia.org/wiki/Molecular\\_dynamics](https://en.wikipedia.org/wiki/Molecular_dynamics)

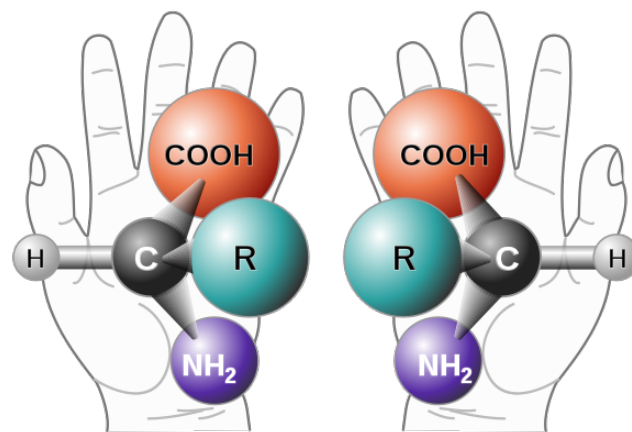
# Reality Bites ! 明らかな非組合せ論的側面 2/2

- 第一原理(Schrödinger方程式)と量子化学的な電子状態



- グラフパターンの統計分析では掴みにくい対象・現象多数

## 不斉合成/エナンチオマー(鏡像異性体)

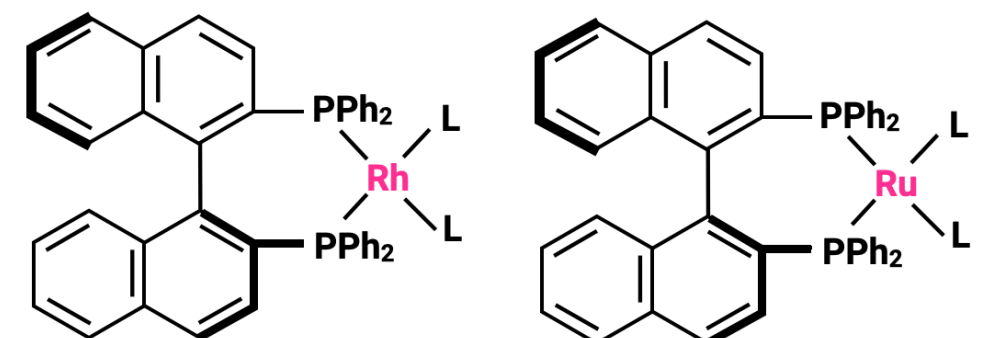


原子距離行列・物質量・エネルギーおよび物理的性質は全く同じ  
だが他の分子と相互作用するとき  
性質が違う  
(生体内分子や有機化学の主対象)

[https://en.wikipedia.org/wiki/Chirality\\_\(chemistry\)](https://en.wikipedia.org/wiki/Chirality_(chemistry))

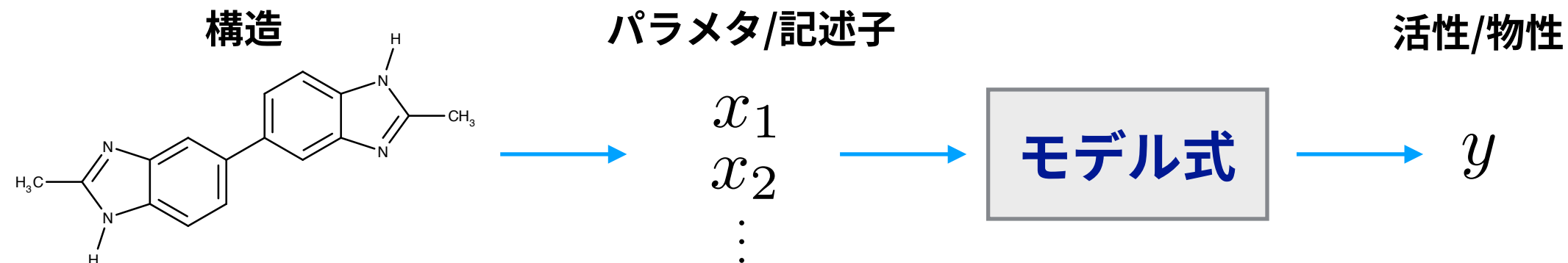
## BINAP錯体

錯体など金属の原子が入る場合これは部分構造  
云々の問題ではなく元素特性の考慮が必要…



# 機械学習に求められること：経験則の合理化・精緻化？

例：構造活性相関(SAR) 「形/構造」から生物活性や物性を予測する



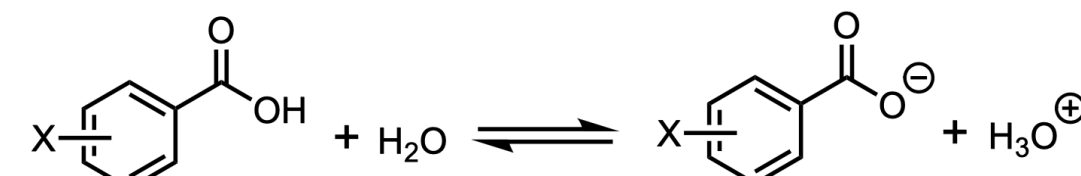
**Hansch-Fujita QSAR**  
(Hammett則の生物学版)

$$\log(1/C) = \beta_1(\log P)^2 + \beta_2 \log P + \beta_3 \sigma + \beta_4 E_s + \text{Const.}$$

生物活性や濃度	疎水性の度合い (分配係数)	電子を出すか取るか度合い (Hammett定数)	立体効果の度合い (Taft定数)
---------	-------------------	-----------------------------	----------------------

**Hammett則**

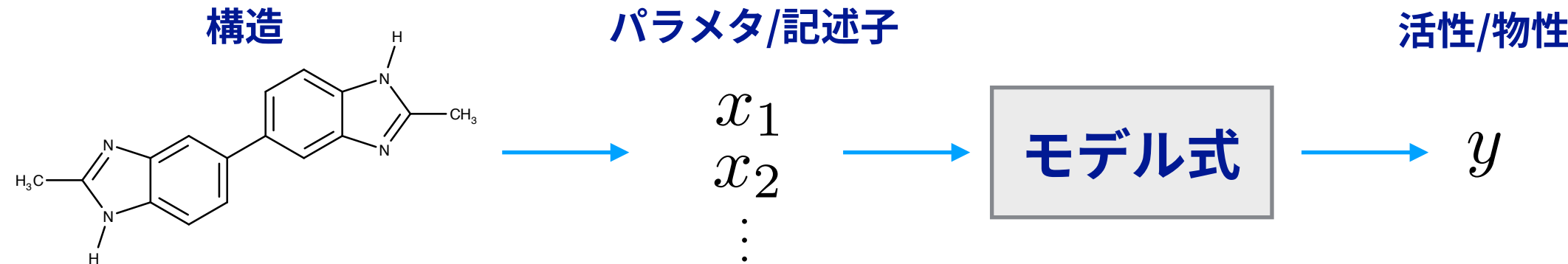
$$\log(K/K_H) = \rho\sigma$$



"Linear Free Energy Relationships (LFERs)"

$X=H$  (安息香酸)のときと  $X$  に何か別の置換基を入れた時の反応速度比が一次式になる経験則

# 注意すべきこと (Open Problem)

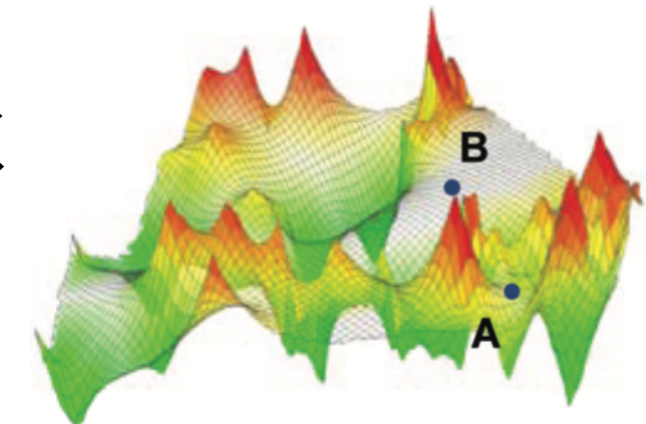


- 「活性  $\approx f(\text{記述子})$ 」としてケモインフォマティクスの主問題の一つに
- 現在では分子記述子を数千種類計算してくれるソフトウェアなどもある
- **応用統計学の基本のキ：何でもかんでも説明変数にいれてはいけない**
  - 係数を解釈したい(疎水性/電子効果/立体効果どれが効いたか?)が、相関が強い変数が複数あると(機械学習的にはその中のどれか一つでほぼ良いので)どれが効いたと言えなくなる、いわゆる「マルチコ(多重共線形性)」問題
  - キッチンシンク(理論的根拠なしに何でもかんでも説明変数に加える)回帰をするとoverfitするだけ！！サンプル数より変数が多いなんてアホなの！？

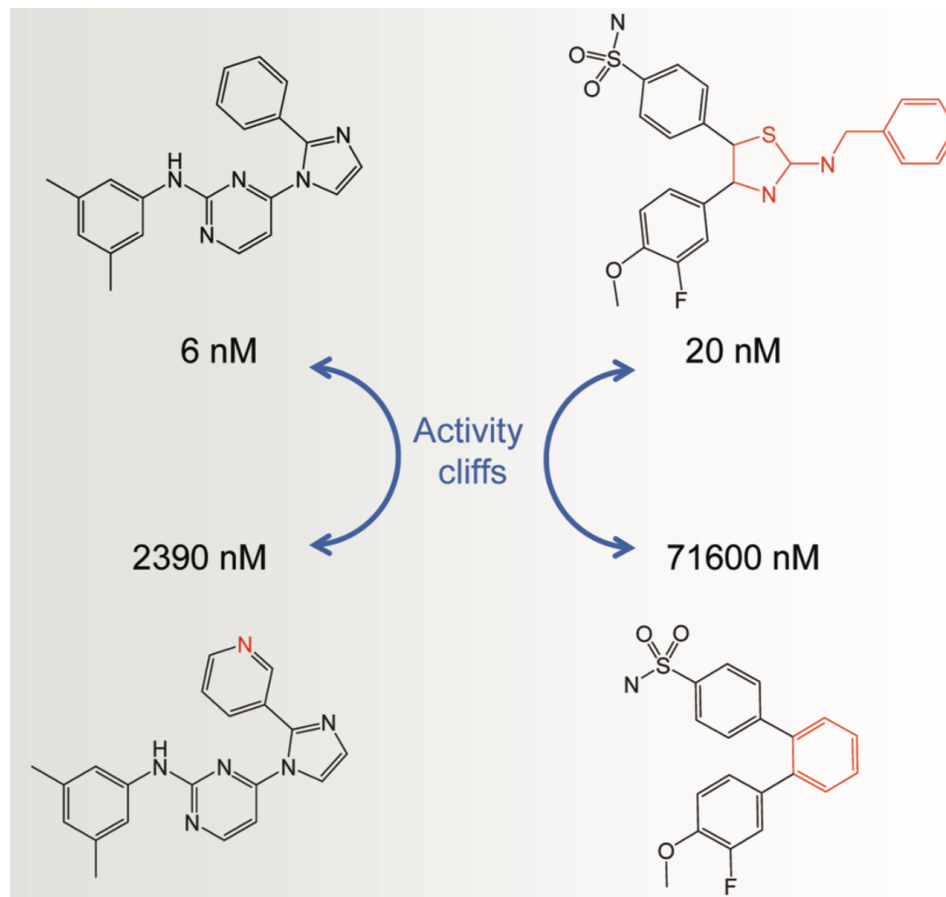
**(最近の)機械学習の考え方：**正則化やデータ設計(training/validation/test)でoverfitやleakageのリスクが適切に回避されていればOKなのでは？

# 構造が似ていても活性/選択性が似ていない例も多い…

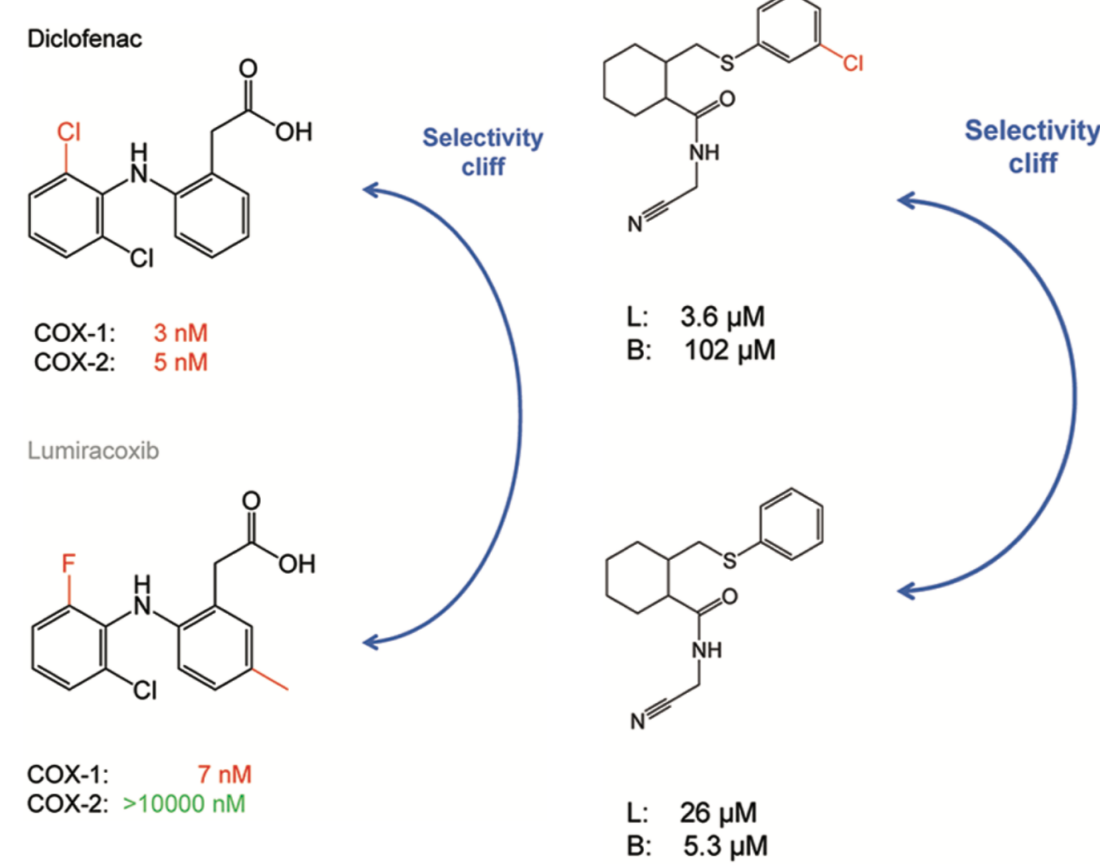
実際には構造がほんの少し変わると活性や選択性が大きく変わってしまう例が多く存在する



## Activity cliffs



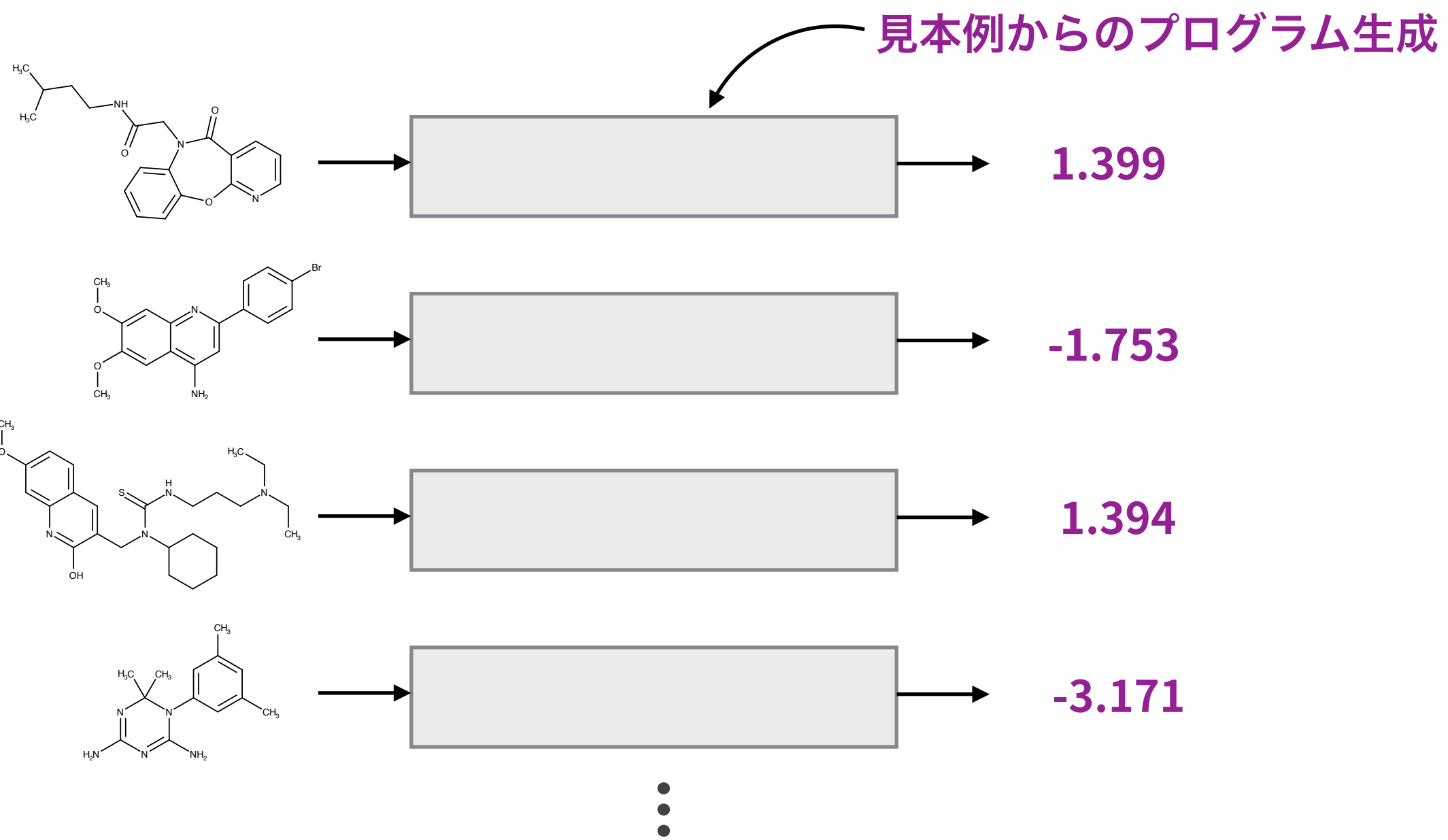
## Selectivity cliffs



# 機械学習からはこう見えがち…

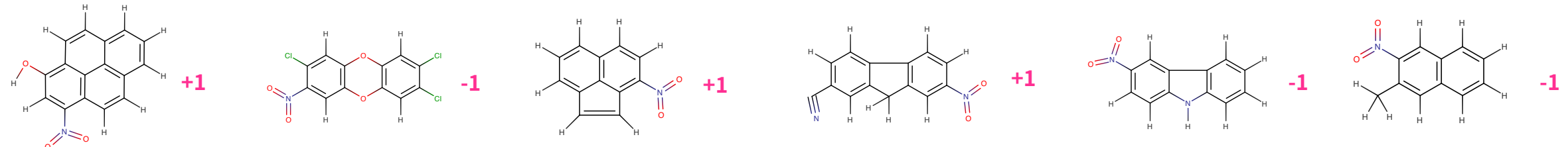


入出力の  
見本例

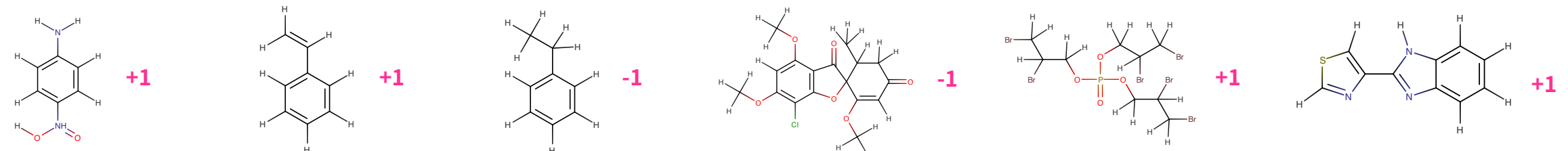


# 実際のデータセットの様子

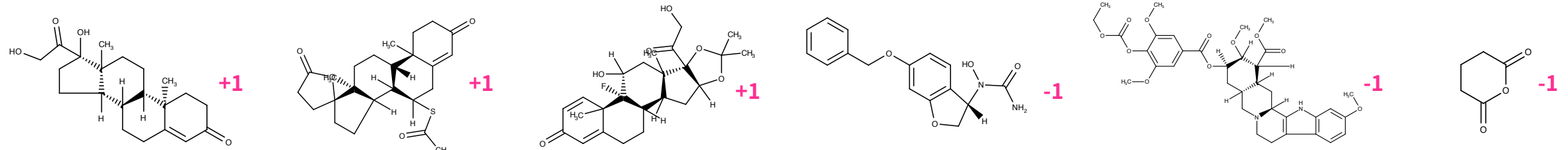
- Mutagenic potency



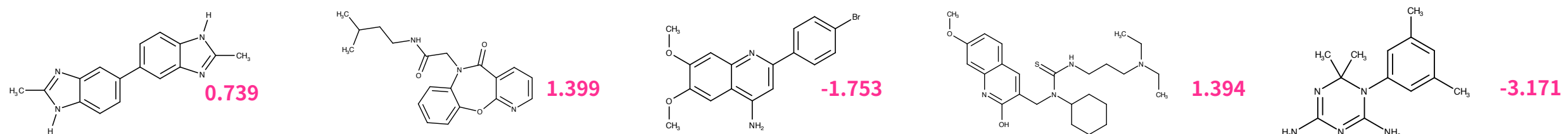
- Carcinogenic potency



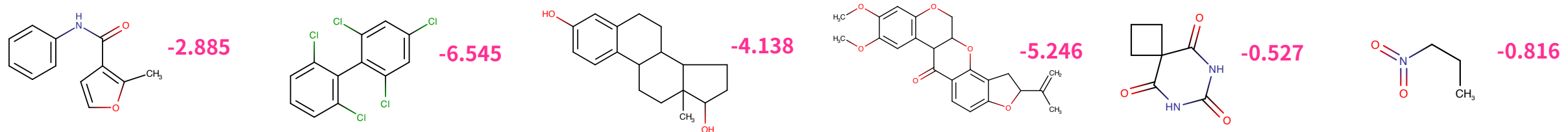
- Endocrine disruption



- Growth inhibition



- Aqueous solubility



# 現在までの機械学習の歩みを駆け足で振り返る！

---

## 離散ラベルつきグラフ表現：部分構造の有無や数からの予測

### 事前に定義された部分構造特徴

- MDL MACCS Keys
- PubChem Fingerprint

### データに生起する部分構造特徴

- ECFP (Circular Fingerprint)
- 頻出部分グラフ構造

### グラフカーネル+カーネル法

- Kashima Kernel
- Weisfeiler-Lehman Kernel

### 部分グラフ探索+モデル学習

- 部分グラフ列挙木上での線形学習・決定木学習
- gLARS/gBoost

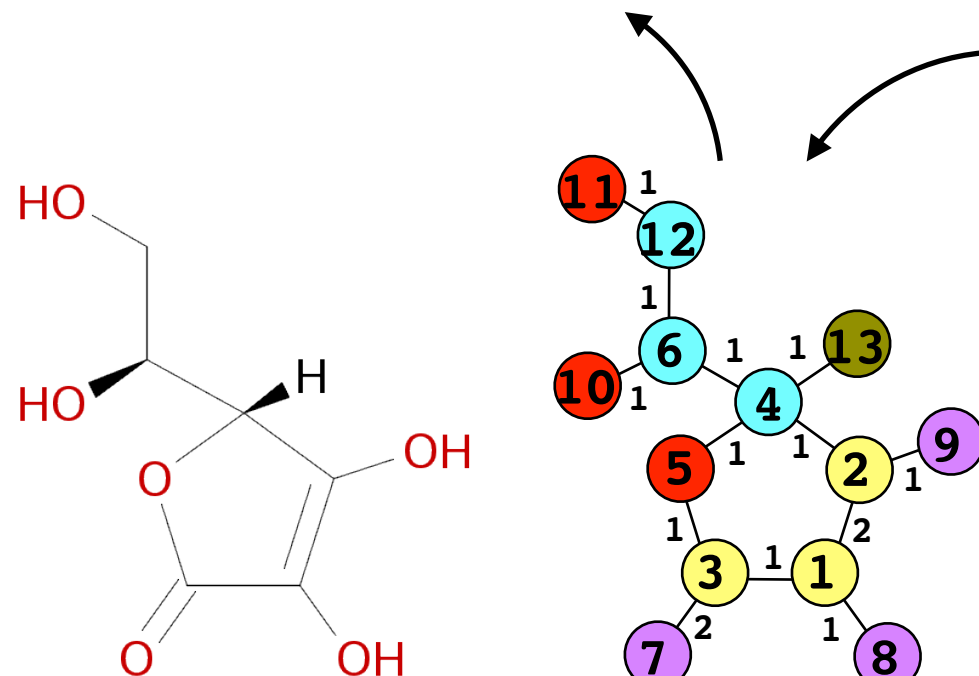
## 離散ラベルを超えて：表現学習とグラフニューラルネットワーク(GNN)

- GNNとWeisfeiler-Lehmanグラフ同型検査(WL-1)
- ECFPとNeural Fingerprint
- MPNNとD-MPNN/ChemProp
- GATとTransformer型GNN
- 分子表現の事前学習と転移学習
- 分子表現の生成
- 幾何的GNNと量子化学計算の高精度高速近似

# 離散ラベルつきグラフとしての表現

## Canonical SMILES

OC[C@H](O)[C@H]1OC(=O)C(=C1O)O



## MOL2 Format

```
=@<TRIPOS>MOLECULE
*****
 13 13 0 0 0
SMALL
GASTEIGER

@<TRIPOS>ATOM
 1 C      -2.5458  -9.4750  0.0000 C.2   1 UNL1    0.3080
 2 C      -3.3708  -9.4750  0.0000 C.2   1 UNL1    0.2529
 3 C      -2.2875  -8.6917  0.0000 C.2   1 UNL1    0.3838
 4 C      -3.6208  -8.6917  0.0000 C.3   1 UNL1    0.2067
 5 O      -2.9583  -8.2042  0.0000 O.3   1 UNL1   -0.4441
 6 C      -4.3583  -8.3125  0.0000 C.3   1 UNL1    0.2245
 7 O      -1.5000  -8.4375  0.0000 O.2   1 UNL1   -0.2412
 8 O      -2.0583  -10.1417 0.0000 O.2  1 UNL1   -0.2764
 9 O      -3.8500  -10.1417 0.0000 O.2  1 UNL1   -0.2843
10 O     -5.0500  -8.7542  0.0000 O.3  1 UNL1   -0.2164
11 O     -3.6958  -7.0417  0.0000 O.3  1 UNL1   -0.2174
12 C     -4.3958  -7.4875  0.0000 C.3  1 UNL1    0.2185
13 H     -4.2083  -9.2667  0.0000 H    1 UNL1    0.0853

@<TRIPOS>BOND
 1   2   1   2
 2   3   1   1
 3   4   2   1
 4   5   3   1
 5   6   4   1
 6   7   3   2
 7   8   1   1
 8   9   2   1
 9   6   10  1
10  11  12  1
11  12  6   1
12  4   13  1
13  5   4   1
```

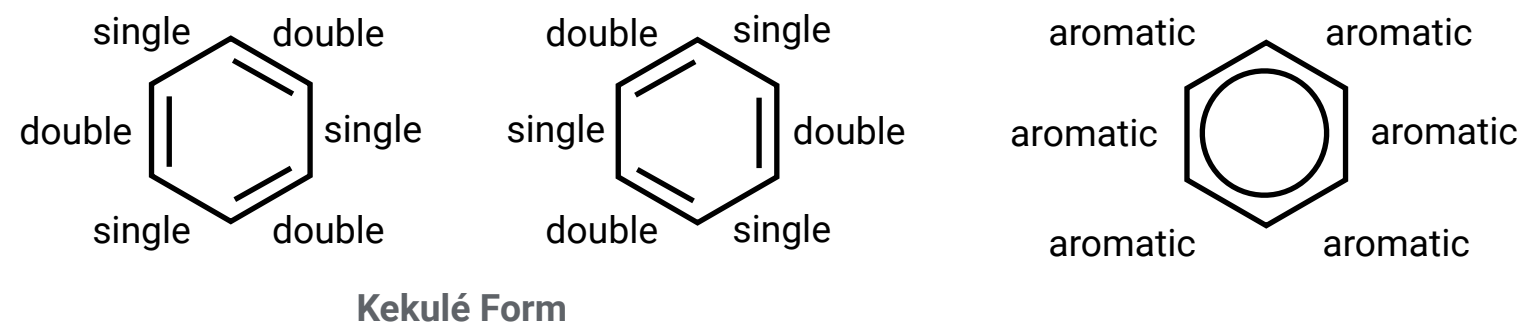
## Standard InChI Key

CIWBHSKHKDKBQ-JLAZNSOCSA-N

## Standard InChI

InChI=1S/C6H8O6/c7-1-2(8)5-3(9)4(10)6(11)12-5/h2,5,7-10H,1H2/t2-,5+/m0/s1

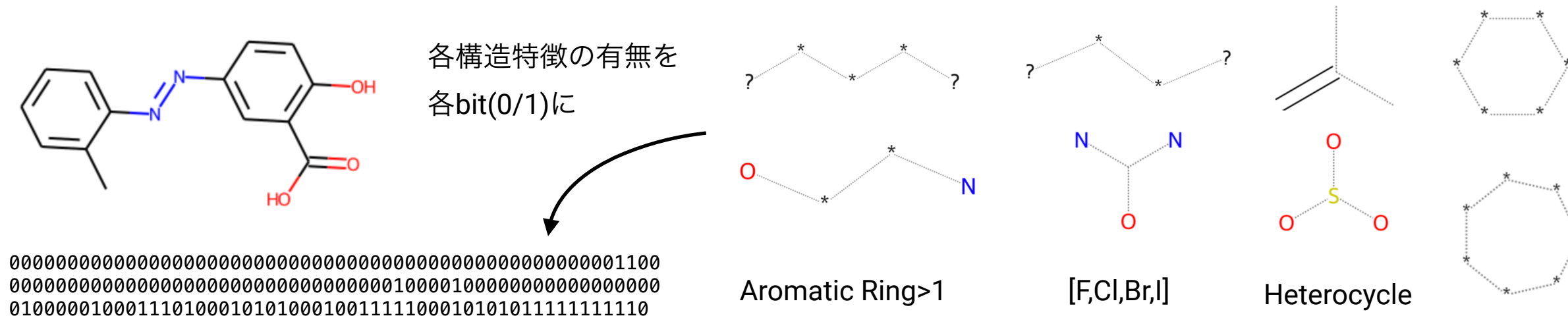
## ベンゼン環の適切な内部表現



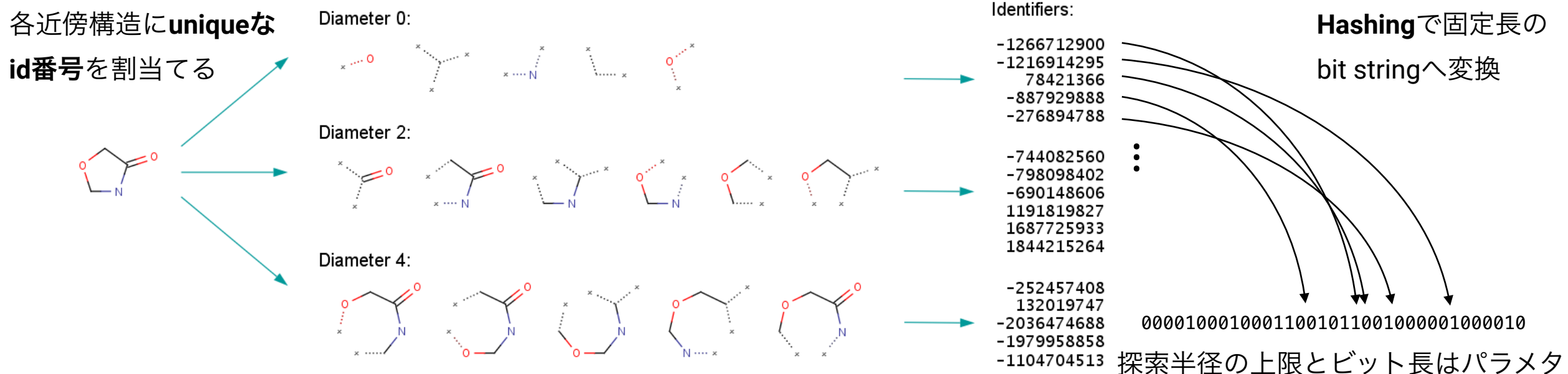
# Fingerprint(分子指紋)と部分構造特徴

**MDL MACCS Keys** 事前に定義された166個の構造特徴の有無

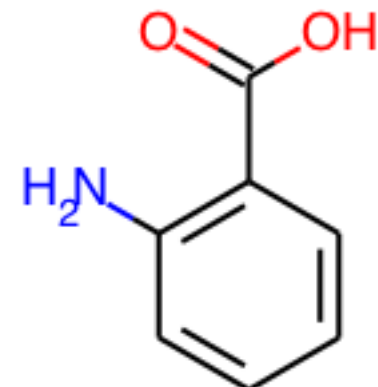
より複雑な構造特徴パターンを網羅したPubChem Fingerprint (881bit)なども



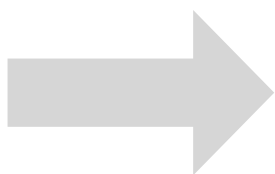
**ECFP (Extended Connectivity Fingerprint)** 半径 $r$ の頂点近傍構造特徴を効率的に全列挙



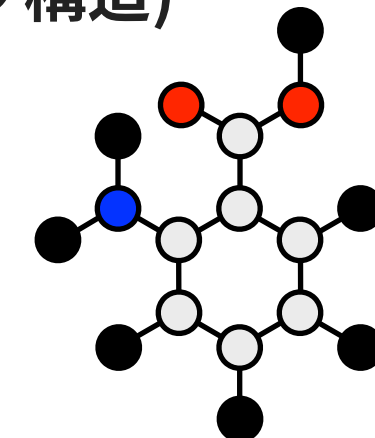
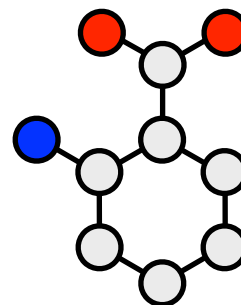
# ECFPで使われる分子グラフ表現



分子グラフへ  
エンコーディング



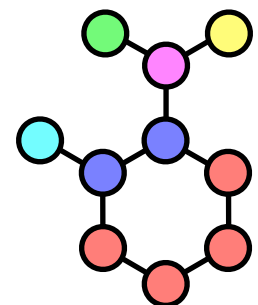
トポロジ(グラフ構造)



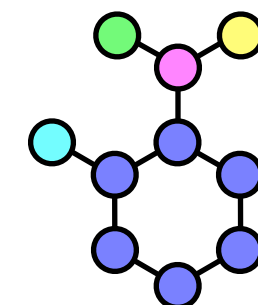
各頂点(や各辺や各頂点対)に「**不变量(原子ごとに固有の多変量)**」を付与しそれを  
離散ラベルとして扱う

*Atomic Invariants*

ECFP ≈ RDkitの原子不变量1 (useFeatures=False)   FCFP ≈ RDkitの原子不变量2 (useFeatures=True)



	○	○	○	○	○	○
atomic number	8	8	7	6	6	6
total degree	2	1	3	3	3	3
#Hs	1	0	2	0	0	1
formal charge	0	0	0	0	0	0
isotope	0	0	0	0	0	0
in Ring?	0	0	0	1	0	1



	○	○	○	○	○
Donor	1	0	1	0	0
Acceptor	0	1	1	0	0
Aromatic	0	0	0	1	0
Halogen	0	0	0	0	0
Basic	0	0	1	0	0
Acidic	0	0	0	0	1

# 部分構造特徴の有無による特徴ベクトル化

クエリ部分構造として何をもってくるかが異なる  
(ワイルドカード文字を許容するなども含めて)

$y$	入力構造							...
0.1		0	0	1	1	1	0	...
0.7		1	0	0	0	0	1	...
0.9		1	1	0	1	1	0	...
:	:	:	:	:	:	:	:	..
1.2		1	0	1	1	1	0	...

## グラフカーネル+カーネル法

陽に特徴ベクトル化せず、内積値のみを  
ダイレクトに計算(カーネルトリック)  
SVMなど内積のみで計算可能な手法へ帰着

$$K \left( \begin{array}{c} \text{Large graph 1} \\ ; \\ \text{Large graph 2} \end{array} \right) = \text{共通する部分グラフの数}$$

## 部分グラフ探索+モデル学習

データセットに頻出する部分構造を陽に列挙

↓ vs カーネル(常に全変数を考慮してしまう)

すべての生起部分構造の中から候補を探索し  
所与タスクに寄与しうるものだけを選択的に  
変数として機械学習モデルへ追加していく

# グラフカーネル+カーネル法

## Kashima Kernel (Kashima+ 2003)

グラフ上のすべてのラベル列上の文字列カーネルの期待値として定義される代表的グラフカーネル

$$K(G, G') = \sum_{\mathbf{h}} \sum_{\mathbf{h}'} K_z(\mathbf{h}, \mathbf{h}') p(\mathbf{h}|G) p(\mathbf{h}'|G')$$

↑  
グラフ上のランダムウォークで生成されるラベル列

## Marginalized Kernel (Tsuda+ 2002)

$$K(x, x') = \sum_{h \in \mathcal{H}} \sum_{h' \in \mathcal{H}} p(h|x) p(h'|x') K_z(z, z')$$

観測変数  $x \in \mathcal{X}$   
隠れ変数  $h \in \mathcal{H}$  +  $z = (x, h), z' = (x', h')$

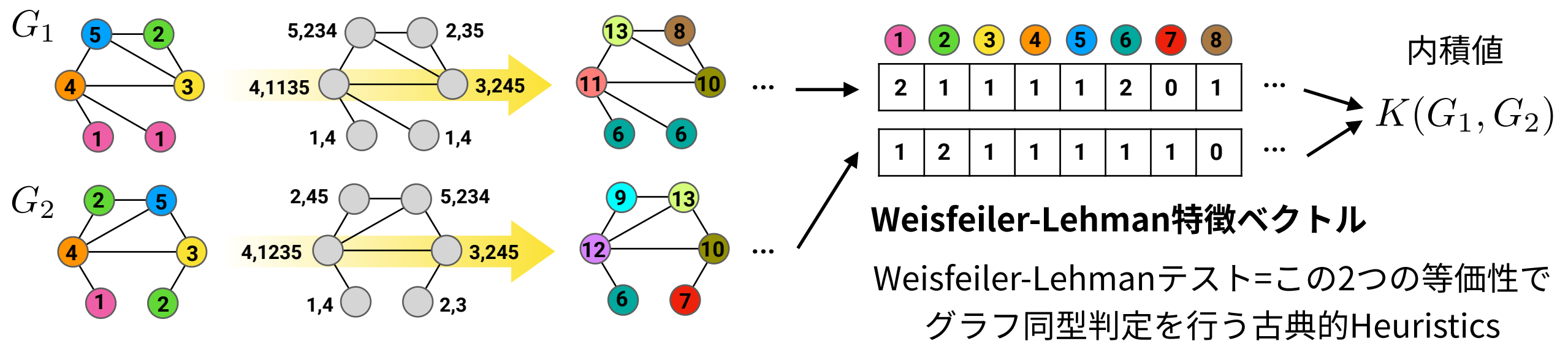
## R-Convolution Kernel (Haussler 1999)

$$K(x, y) = \sum_{\vec{x} \in R^{-1}(x), \vec{y} \in R^{-1}(y)} \prod_{d=1}^D K_d(x_d, y_d)$$

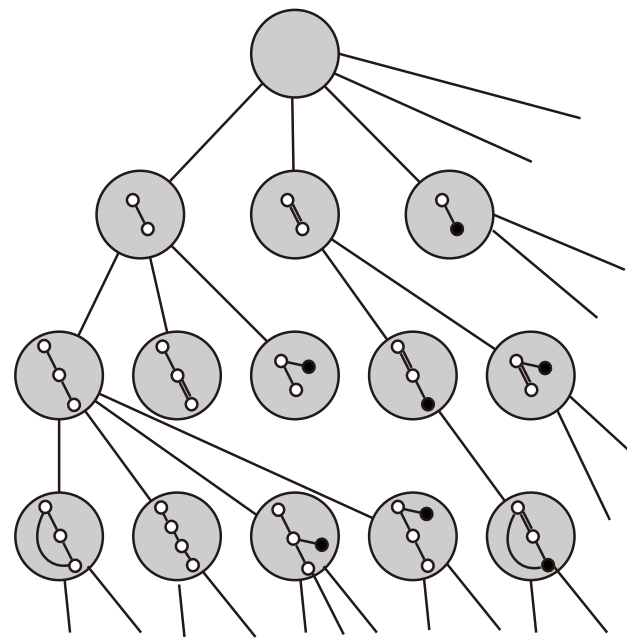
関係  $R$  で  $D$  個の部分へ分解  
 $\vec{x} = x_1, \dots, x_D$   
 $\vec{y} = y_1, \dots, y_D$

## Weisfeiler-Lehman Kernel (Shervashidze+ 2011)

近傍集約+再ラベリング (変化がなくなるまで繰り返す)



# 部分グラフ探索 + モデル学習



gSpanの木状の探索空間 (列挙木)

グラフ集合  $\{G_i\}_{i=1}^n$  に生起するすべての部分グラフを探索  
例: gSpan (Yan and Han, ICDM 2002) で頻出部分グラフを列挙

Datasets	fp	ECFP	MK	FS	GF
NCI1	0.30	0.32	0.29	0.27	<b>0.33</b>
NCI109	0.27	<b>0.32</b>	0.24	0.26	<b>0.32</b>
NCI123	0.25	<b>0.27</b>	0.24	0.23	<b>0.27</b>
NCI145	0.30	0.35	0.28	0.30	<b>0.37</b>
NCI167	0.06	0.06	0.04	0.06	<b>0.07</b>
NCI220	<b>0.33</b>	0.28	0.26	0.21	0.29
NCI33	0.26	0.31	0.26	0.25	<b>0.33</b>
NCI330	0.34	<b>0.36</b>	0.31	0.24	<b>0.36</b>
NCI41	0.25	<b>0.36</b>	0.28	0.30	<b>0.36</b>
NCI47	0.26	<b>0.31</b>	0.26	0.24	<b>0.31</b>
NCI81	0.27	<b>0.28</b>	0.25	0.24	<b>0.28</b>
NCI83	0.26	<b>0.31</b>	0.26	0.25	<b>0.31</b>

Wale N., Ning X., Karypis G. (2010) Trends in Chemical Graph Data Mining. In: Aggarwal C., Wang H. (eds) Managing and Mining Graph Data. Advances in Database Systems, vol 40. Springer, Boston, MA. [https://doi.org/10.1007/978-1-4419-6045-0\\_19](https://doi.org/10.1007/978-1-4419-6045-0_19)

**Branch & Bound**で必要な部分グラフ特徴を学習しながら同時に機械学習モデルを構築

生起部分グラフから有効なものを逐次的に選択し、同時にモデルを学習

## 生起部分グラフの列挙木上での線形学習

- Adaboost (Kudo et al, NIPS 2005)
- gLARS (Tsuda, ICML 2007), gPLS (Saigo et al, KDD 2008), gBoost (Saigo et al, Mach Learn 2009)
- Elastic-Net正則化つき一般の線形学習への拡張 (Takigawa and Mamitsuka, TPAMI 2017)

## 生起部分グラフの列挙木上での非線形学習

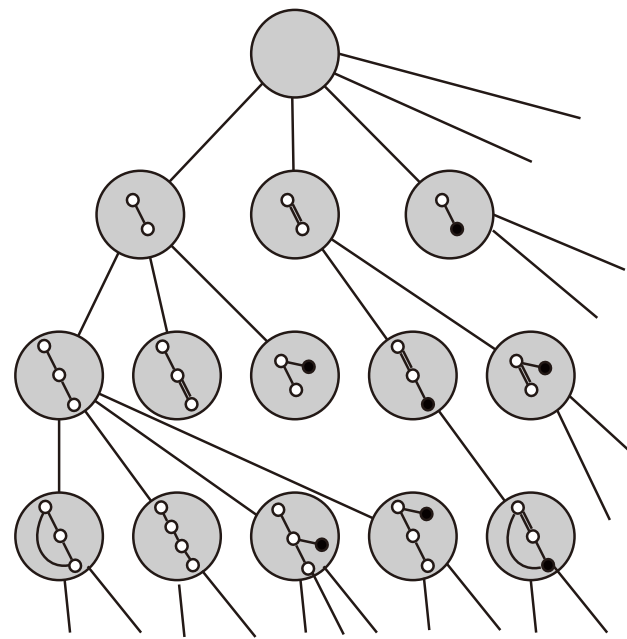
- 決定木(分類木・回帰木)を学習 + 木アンサンブル学習 (Shirakawa et al, MLG 2018@KDD)

Wale, Ning, Karypis (2010)

- fp (Hashed fingerprint w/ paths+cycles)
- ECFP
- MK (MACCS Keys)
- FS (頻出部分グラフ)
- GF (一定サイズ以下の全生起部分グラフ)

頻出だけは良くない..

# 部分グラフ探索 + モデル学習



gSpanの木状の探索空間 (列挙木)

グラフ集合  $\{G_i\}_{i=1}^n$  に生起するすべての部分グラフを探索  
例: gSpan (Yan and Han, ICDM 2002) で頻出部分グラフを列挙

Table 19.2. SAR performance of different descriptors.

Datasets	fp	ECFP	MK	FS	GF
NCI1	0.30	0.32	0.29	0.27	<b>0.33</b>
NCI109	0.27	<b>0.32</b>	0.24	0.26	<b>0.32</b>
NCI123	0.25	<b>0.27</b>	0.24	0.23	<b>0.27</b>
NCI145	0.30	0.35	0.28	0.30	<b>0.37</b>
NCI167	0.06	0.06	0.04	0.06	<b>0.07</b>
NCI220	<b>0.33</b>	0.28	0.26	0.21	0.29
NCI33	0.26	0.31	0.26	0.25	<b>0.33</b>
NCI330	0.34	<b>0.36</b>	0.31	0.24	<b>0.36</b>
NCI41	0.25	<b>0.36</b>	0.28	0.30	<b>0.36</b>
NCI47	0.26	<b>0.31</b>	0.26	0.24	<b>0.31</b>
NCI81	0.27	<b>0.28</b>	0.25	0.24	<b>0.28</b>
NCI83	0.26	<b>0.31</b>	0.26	0.25	<b>0.31</b>

Wale, Ning, Karypis (2010)

- fp (Hashed fingerprint w/ paths+cycles)
  - ECFP
  - MK (MACCS Keys)
  - FS (頻出部分グラフ)
  - GF (一定サイズ以下の全生起部分グラフ)
- 頻出だけは良くない..

Wale N., Ning X., Karypis G. (2010) Trends in Chemical Graph Data Mining. In: Aggarwal C., Wang H. (eds) Managing and Mining Graph Data. Advances in Database Systems, vol 40. Springer, Boston, MA. [https://doi.org/10.1007/978-1-4419-6045-0\\_19](https://doi.org/10.1007/978-1-4419-6045-0_19)

**Branch & Bound**で必要な部分グラフ特徴を学習しながら同時に機械学習モデルを構築

生起部分グラフから有効なものを逐次的に選択し、同時にモデルを学習

## 生起部分グラフの列挙木上での線形学習

→ QSARでの予測精度はECFP+Random Forestと同程度…!?

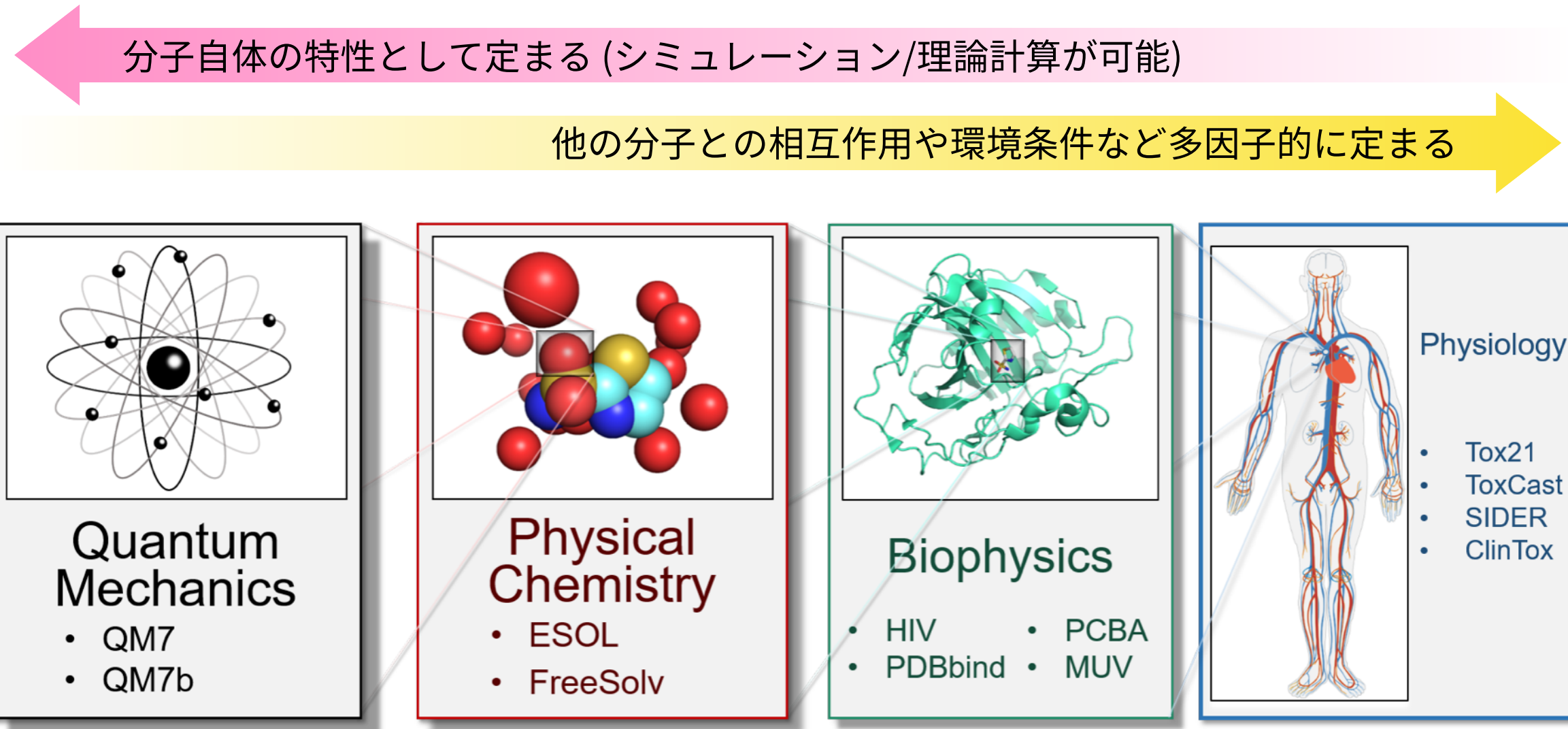
- Adaboost (Kudo et al, NIPS 2005)
- gLARS (Tsuda, ICML 2007), gPLS (Saigo et al, KDD 2008), gBoost (Saigo et al, Mach Learn 2009)
- Elastic-Net正則化つき一般の線形学習への拡張 (Takigawa and Mamitsuka, TPAMI 2017)

## 生起部分グラフの列挙木上での非線形学習

- 決定木(分類木・回帰木)を学習 + 木アンサンブル学習 (Shirakawa et al, MLG 2018@KDD)

# 分子タスクのレベルと汎用の分子表現の学習

- 部分グラフパターンの有無や数では捉えられない非組合せ論的側面を考慮できるか？
- 広いレベルで使える汎用の分子表現をデータから学習できるか？

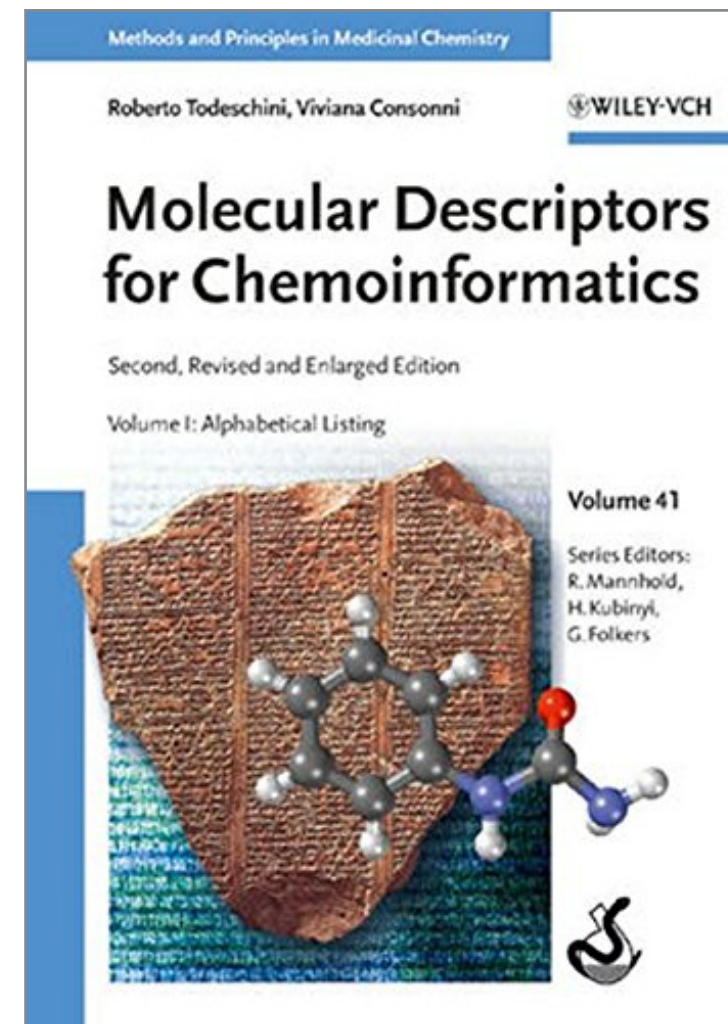


Wu et al, MoleculeNet: a benchmark for molecular machine learning, *Chem Sci* (2017)  
<https://doi.org/10.1021/jm201706b>  
<http://moleculenet.ai>

# 個別に入手でデザインされた分子記述子は多数…

- 実験的な計測量
- 計算的な記述子
  - 0D 記述子
    - constitutional descriptors
    - count descriptors
  - 1D 記述子
    - list of structural fragments
    - fingerprints
  - 2D 記述子
    - graph invariants
  - 3D 記述子
    - 3D MoRSE, WHIM, GETAWAY, ...
    - quantum-chemical descriptors
    - size, steric, surface, volume, etc.
  - 4D 記述子
    - GRID, CoMFA, Volsurf, ...

...more than 3,300 descriptors



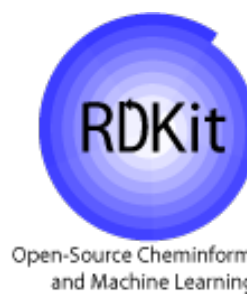
Todeschini and Consonni, *Molecular Descriptors for Chemoinformatics*. Wiley-VCH, 2009.  
<https://doi.org/10.1002/9783527628766>

5,270 descriptors

**DRAGON 7.0**



商用の記述子ソフトウェア



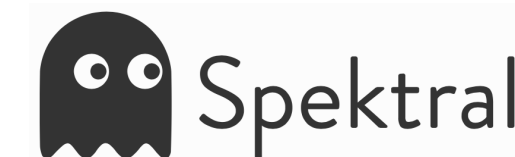
`rdkit.Chem`

- Descriptors
- Descriptors3D
- GraphDescriptors
- Fingerprints
- ChemicalFeatures
- ChemicalForceFields

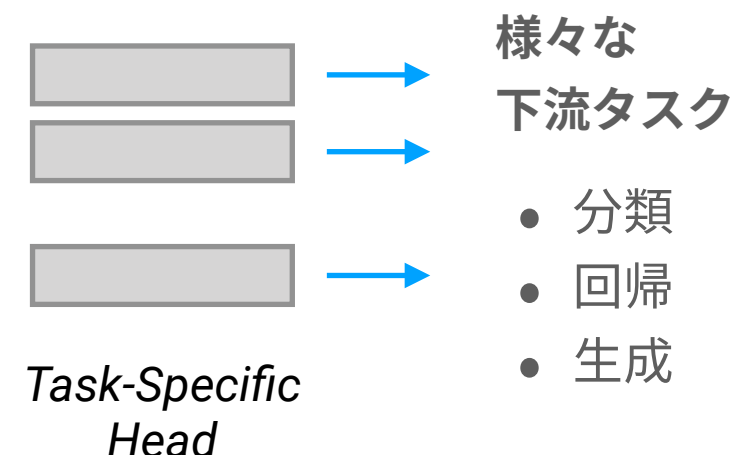
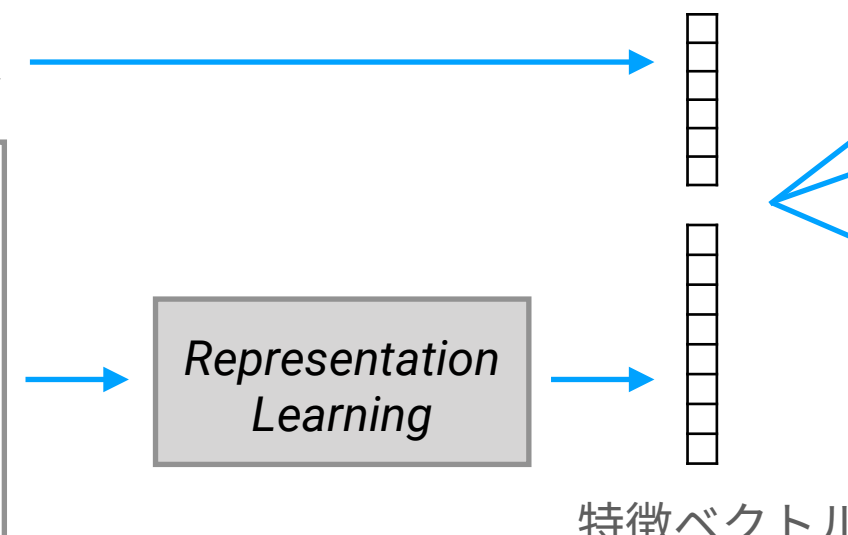
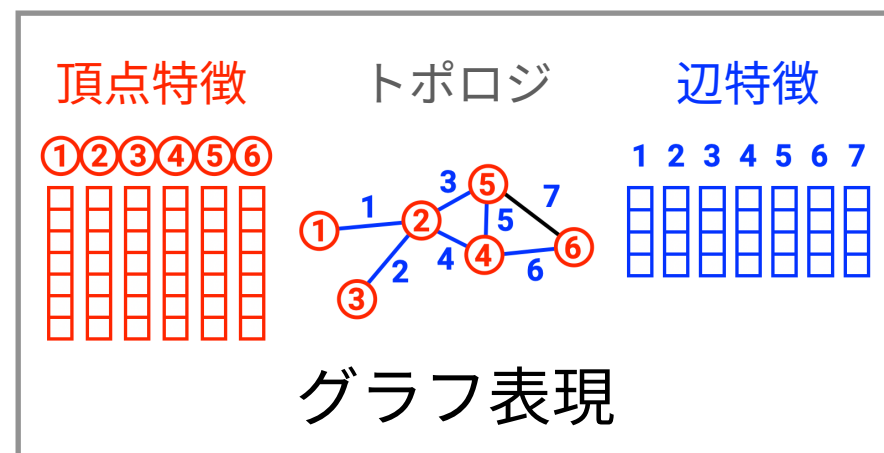
`rdkit.ML.Descriptors`

オープンソースフレームワーク

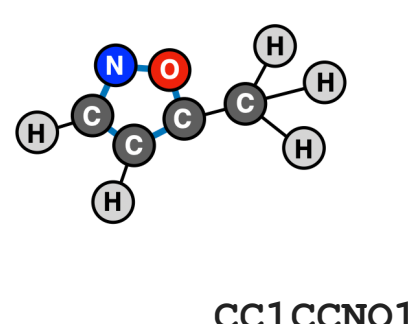
# 表現学習の試み：Graph Neural Networks (GNNs)



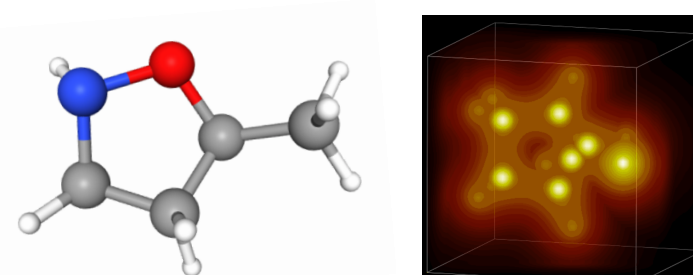
分子の環境/条件/標的/相互作用等の情報



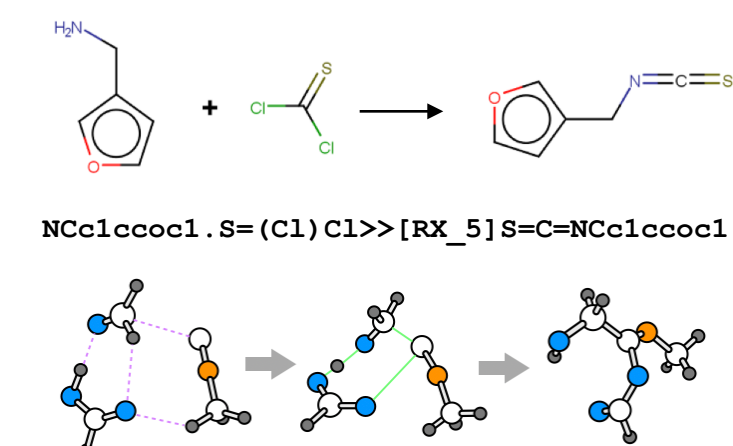
化学構造/骨格/官能基



立体配座/電子状態

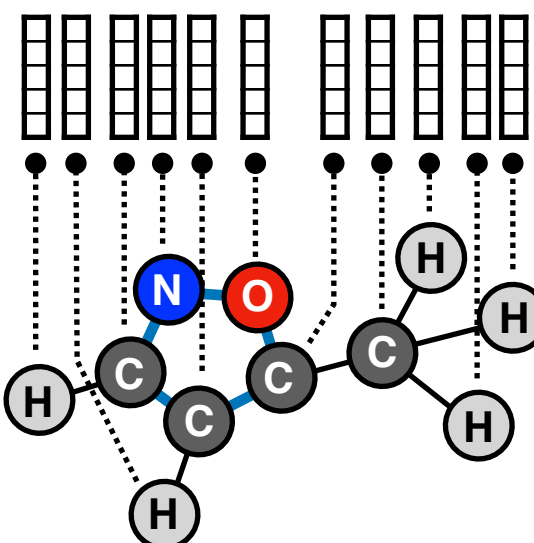
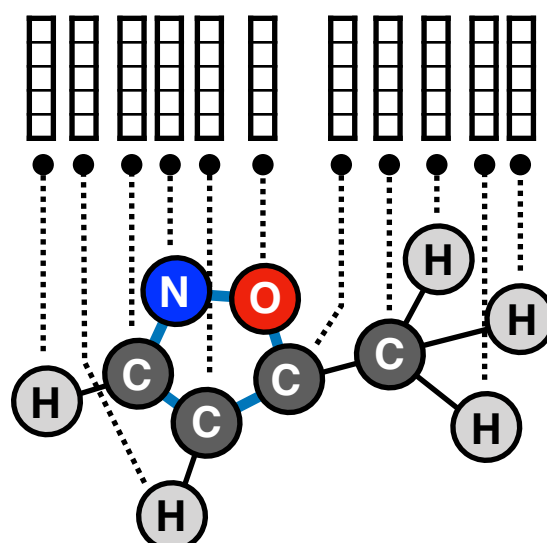


化学反応=構造の組替え

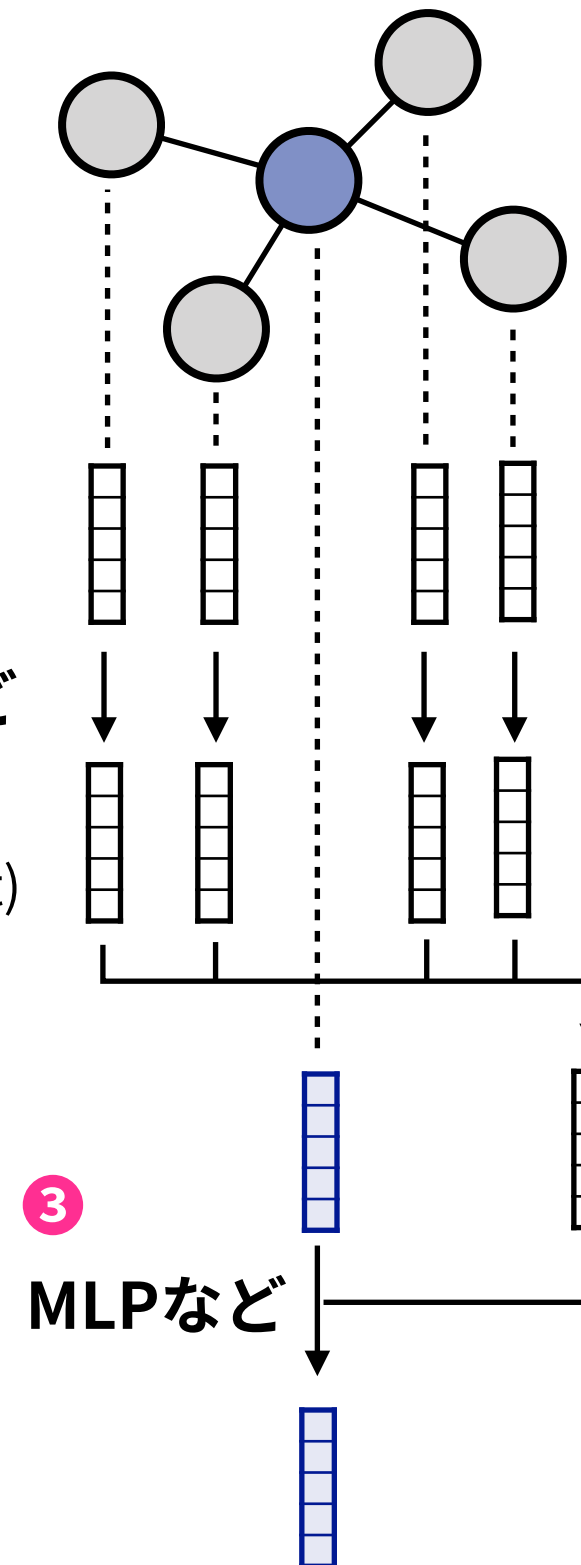


# Message Passing Neural Networks (MPNNs)

各特徴ベクトルの更新



①  
MLPなど  
置換同変  
(equivariant)



$$h_i \leftarrow \psi \left( h_i, \bigoplus_{j \in \mathcal{N}_i} \phi(h_i, h_j, e_{ij}) \right)$$

②  
順番や数に依存しない集約操作  
(sum, mean or max)  
+ attention

置換不变  
(invariant)

③  
MLPなど

# GNNの基本的性質についての理解

- Weisfeiler-Lehmanテストとの関係

**Algorithm 1: WL-1 algorithm (Weisfeiler & Lehmann, 1968)**

```

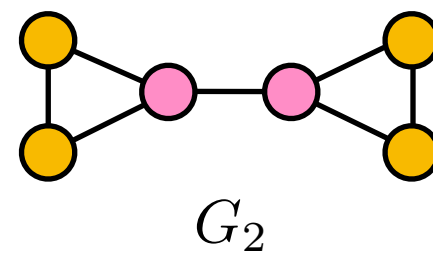
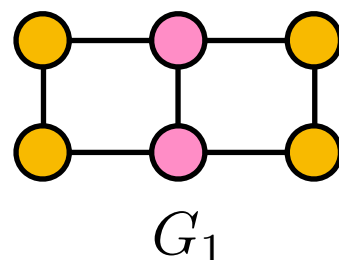
Input: Initial node coloring ( $h_1^{(0)}, h_2^{(0)}, \dots, h_N^{(0)}$ )
Output: Final node coloring ( $h_1^{(T)}, h_2^{(T)}, \dots, h_N^{(T)}$ )
 $t \leftarrow 0;$ 
repeat
  for  $v_i \in \mathcal{V}$  do
     $h_i^{(t+1)} \leftarrow \text{hash} \left( \sum_{j \in \mathcal{N}_i} h_j^{(t)} \right);$ 
   $t \leftarrow t + 1;$ 
until stable node coloring is reached;
  
```

順番や数に依存しない集約操作

$$h_i^{(l+1)} \leftarrow \phi \left( h_i^{(l)}, \bigoplus_{j \in \mathcal{N}_i} c_{ij} \psi(h_j^{(l)}) \right)$$

hash操作を微分可能な演算にするとGCNに  
(Kipf and Welling, ICLR 2017)

- グラフ同型判定の意味ではGNNはWL-1 Algorithmと表現力が同じ



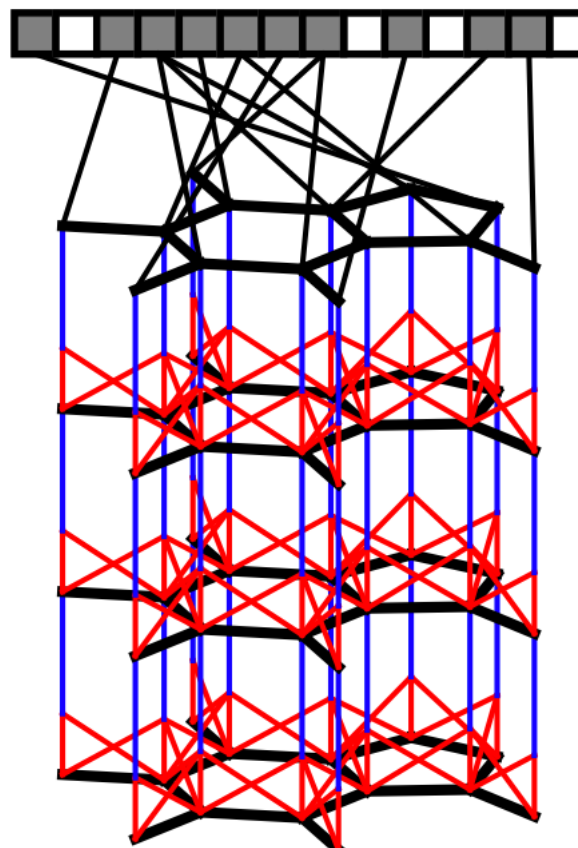
二つのグラフは同型ではないが  
WL-1やGNNでは区別できない

- 集約操作  $\bigoplus$  の選択で表現力が変わる： sum > mean > max

Kipf and Welling, [Semi-supervised classification with graph convolutional networks. ICLR \(2017\)](#)  
Xu, Hu, Leskovec, Jegelka, [How powerful are graph neural networks? ICLR \(2019\)](#)

# ECFPとNeural Graph Fingerprint

- Neural Graph Fingerprint: 最初期に提案されたGNNの一つ
- Graph Convolutionを用いたGNNの一種とみなせる
- ECFP(Circular Fingerprint)のFingerprint計算をパラメタを持つ微分可能な演算で書き直すことで得られる学習可能なFingerprintという位置づけ



## Algorithm 1 Circular fingerprints

```

1: Input: molecule, radius  $R$ , fingerprint length  $S$ 
2: Initialize: fingerprint vector  $\mathbf{f} \leftarrow \mathbf{0}_S$ 
3: for each atom  $a$  in molecule
4:    $\mathbf{r}_a \leftarrow g(a)$             $\triangleright$  lookup atom features
5:   for  $L = 1$  to  $R$             $\triangleright$  for each layer
6:     for each atom  $a$  in molecule
7:        $\mathbf{r}_1 \dots \mathbf{r}_N = \text{neighbors}(a)$ 
8:        $\mathbf{v} \leftarrow [\mathbf{r}_a, \mathbf{r}_1, \dots, \mathbf{r}_N]$      $\triangleright$  concatenate
9:        $\mathbf{r}_a \leftarrow \text{hash}(\mathbf{v})$             $\triangleright$  hash function
10:       $i \leftarrow \text{mod}(r_a, S)$          $\triangleright$  convert to index
11:       $f_i \leftarrow 1$                    $\triangleright$  Write 1 at index
12: Return: binary vector  $\mathbf{f}$ 
```

## Algorithm 2 Neural graph fingerprints

```

1: Input: molecule, radius  $R$ , hidden weights  $H_1^1 \dots H_R^5$ , output weights  $W_1 \dots W_R$ 
2: Initialize: fingerprint vector  $\mathbf{f} \leftarrow \mathbf{0}_S$ 
3: for each atom  $a$  in molecule
4:    $\mathbf{r}_a \leftarrow g(a)$             $\triangleright$  lookup atom features
5:   for  $L = 1$  to  $R$             $\triangleright$  for each layer
6:     for each atom  $a$  in molecule
7:        $\mathbf{r}_1 \dots \mathbf{r}_N = \text{neighbors}(a)$ 
8:        $\mathbf{v} \leftarrow \mathbf{r}_a + \sum_{i=1}^N \mathbf{r}_i$             $\triangleright$  sum
9:        $\mathbf{r}_a \leftarrow \sigma(\mathbf{v} H_L^N)$             $\triangleright$  smooth function
10:       $\mathbf{i} \leftarrow \text{softmax}(\mathbf{r}_a W_L)$             $\triangleright$  sparsify
11:       $\mathbf{f} \leftarrow \mathbf{f} + \mathbf{i}$             $\triangleright$  add to fingerprint
12: Return: real-valued vector  $\mathbf{f}$ 
```

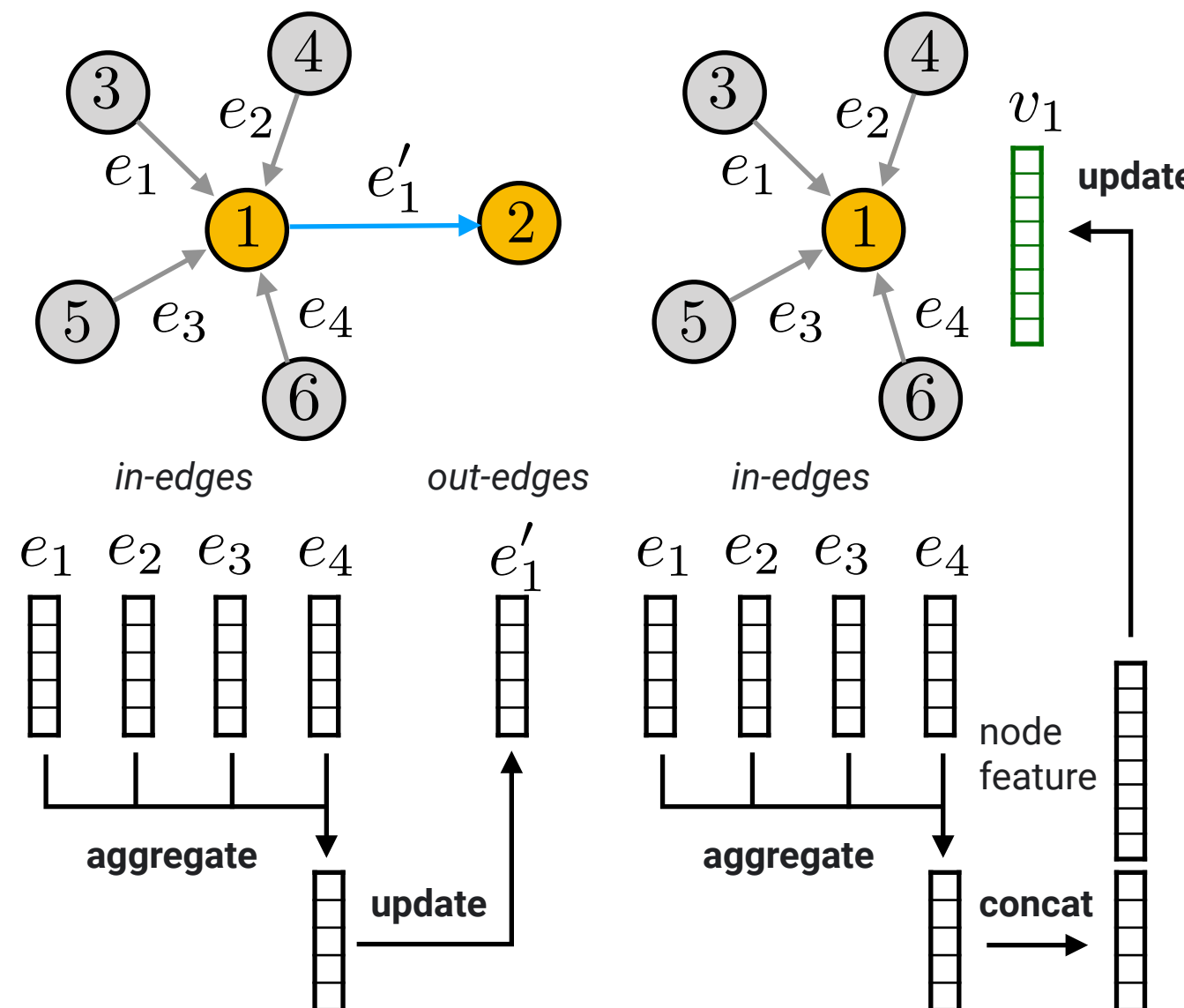
Figure 2: Pseudocode of circular fingerprints (*left*) and neural graph fingerprints (*right*). Differences are highlighted in blue. Every non-differentiable operation is replaced with a differentiable analog.

# D-MPNN / ChemProp

## Directed MPNN (Dai et al, ICML 2016)

隠れ変数を頂点ではなく有向辺に応づけて更新

辺の隠れ変数を更新 (T回) → 頂点の変数を更新



## ChemProp (Yang et al, JCIIM 2019)

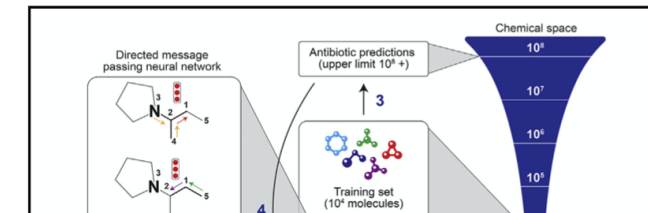
<https://github.com/chemprop/chemprop>

Machine Learning for Pharmaceutical Discovery and Synthesis Consortium @ MITが開発し、実際の抗生物質探索に用いられた有名なGNNの成功例

### Cell

#### A Deep Learning Approach to Antibiotic Discovery

##### Graphical Abstract



##### Authors

Jonathan M. Stokes, Kevin Yang, Kyle Swanson, ..., Tommi S. Jaakkola, Regina Barzilay, James J. Collins

##### Correspondence

regina@csail.mit.edu (R.B.), jimjc@mit.edu (J.J.C.)

Stokes et al, Cell (2020) <https://doi.org/10.1016/j.cell.2020.01.021>

### nature

NEWS | 20 February 2020

#### Powerful antibiotics discovered using AI

Machine learning spots molecules that work even against ‘untreatable’ strains of bacteria.

Jo Marchant

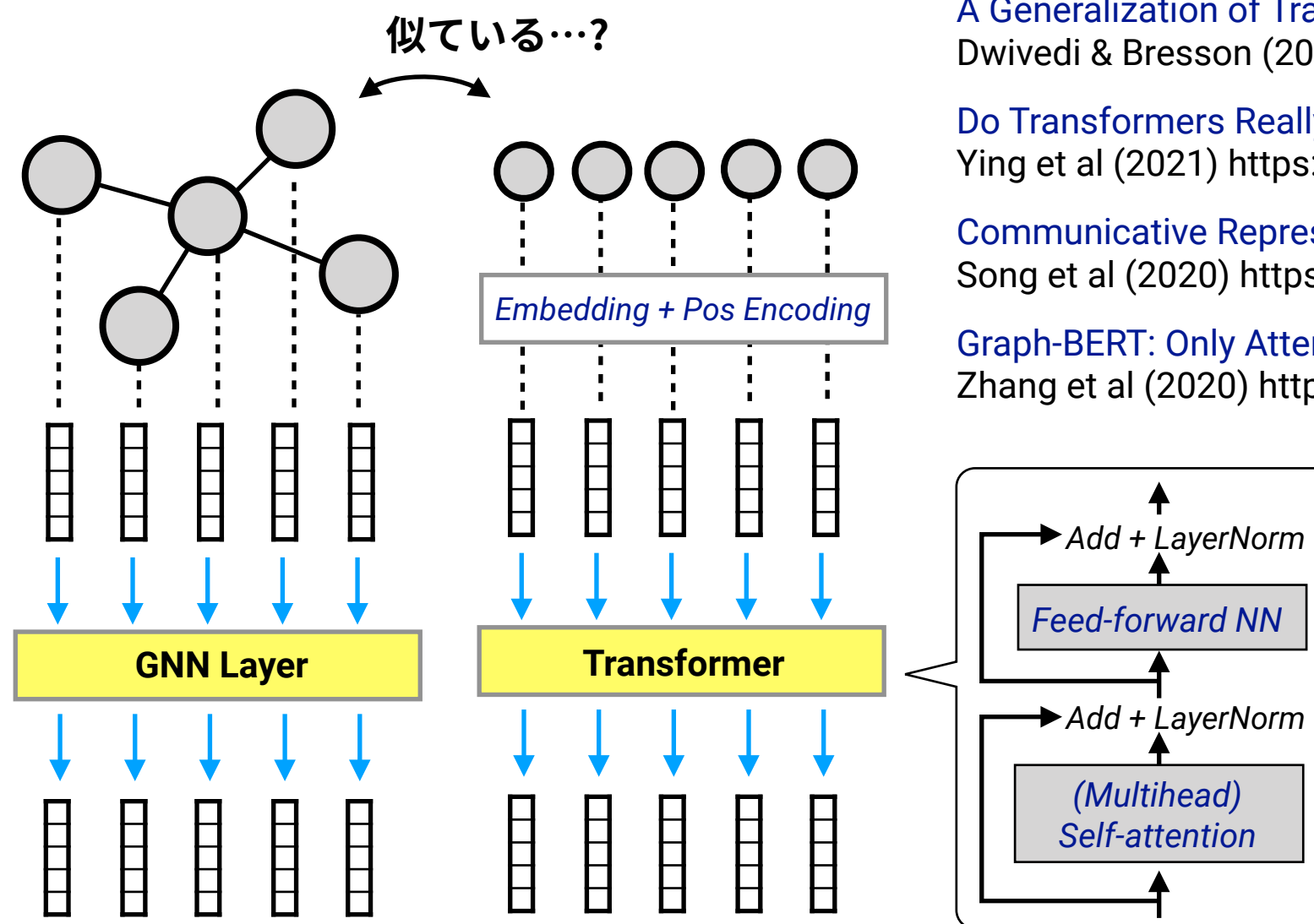
Marchant, Nature (2020) <https://doi.org/10.1038/d41586-020-00018-3>

# GATとTransformer型GNN

- 各頂点の特徴ベクトルを更新する際にAttentionを入れたい
- Transformerはトポロジ制約のないGraph Attention Network (GAT)変種とみなせる

Veličković, Cucurull, Casanova, Romero, Liò, Bengio, [Graph Attention Networks](https://arxiv.org/abs/1710.10903) (ICLR 2018) <https://arxiv.org/abs/1710.10903>  
Joshi, [Transformers are Graph Neural Networks.](https://graphdeeplearning.github.io/post/transformers-are-gnns/) (2020) <https://graphdeeplearning.github.io/post/transformers-are-gnns/>

- 逆にもちろんTransformer型のSelf-AttentionをGNNにもちこむこともできる



A Generalization of Transformer Networks to Graphs  
Dwivedi & Bresson (2020) <https://arxiv.org/abs/2012.09699>

Do Transformers Really Perform Bad for Graph Representation?  
Ying et al (2021) <https://arxiv.org/abs/2106.05234>

Communicative Representation Learning on Attributed Molecular Graphs  
Song et al (2020) <https://www.ijcai.org/proceedings/2020/0392.pdf>

Graph-BERT: Only Attention is Needed for Learning Graph Representations  
Zhang et al (2020) <https://arxiv.org/abs/2001.05140>

Ying et al (2021) のGraphomerは  
KDDCup 2021のOpen Graph Benchmark  
Large-Scale Challenge(後述)のGraph-level  
タスクの優勝モデルで使われた

大規模データならグラフでも  
Transformerは有効...!?

# 分子表現の事前学習と転移学習

- Transformerへの関心は(Self-Supervisedな)大規模事前学習と転移への期待の現れ
- 分子タスクも現実の個別状況では小サンプルであることがほとんど
- もし汎用の分子表現を大規模事前学習により獲得しFew-shot/Zero-shot転移ができるのなら波及効果は計り知れない (cf. CVのImageNet-pretrained CNN, NLPのBERT等)

## Self-Supervised Graph Transformer on Large-Scale Molecular Data

Rong, Bian, Xu, Xie, Wei, Huang, Huang (NeurIPS 2020)

<https://arxiv.org/abs/2007.02835>

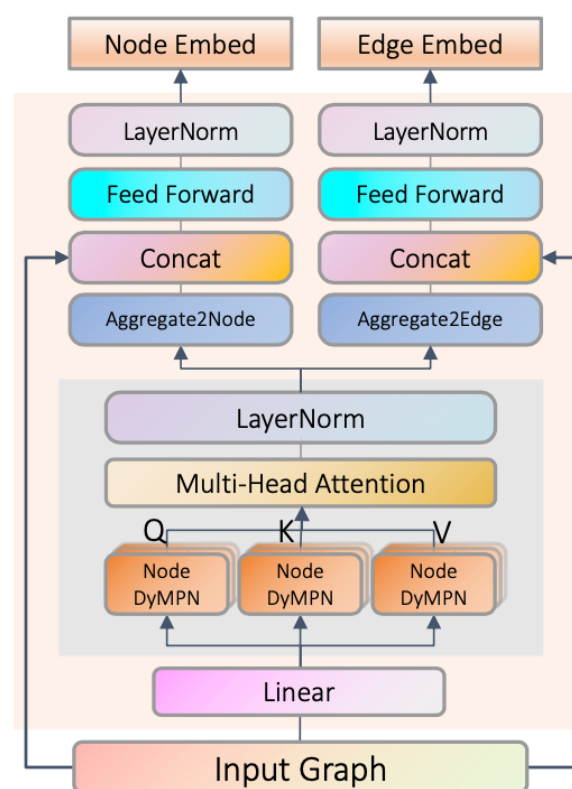


Figure 1: Overview of GTransformer.

## Strategies for Pre-training Graph Neural Networks

Hu, Liu, Gomes, Zitnik, Liang, Pande, Leskovec (ICLR 2020)

<https://arxiv.org/abs/1905.12265>

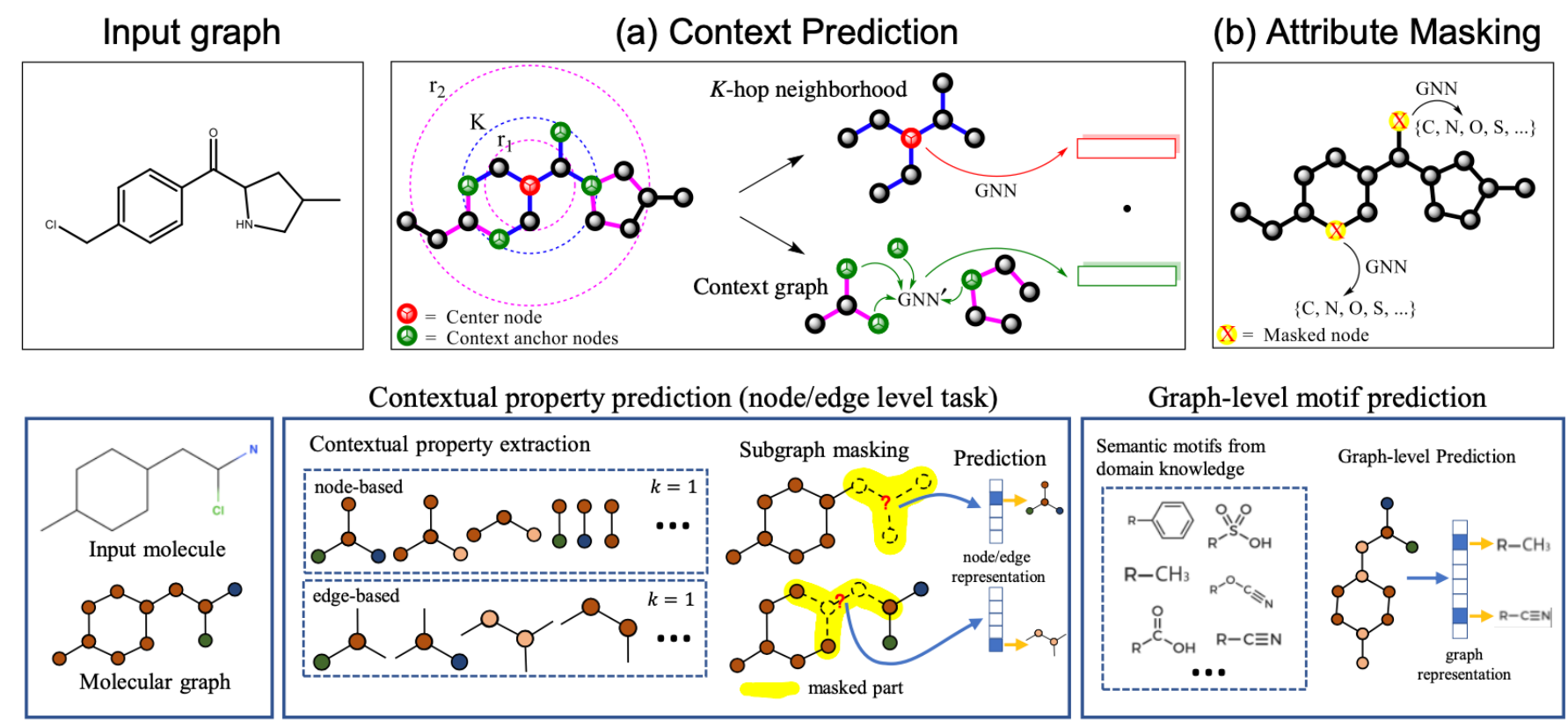


Figure 2: Overview of the designed self-supervised tasks of GROVER.

# 分子表現の生成

---

- もうひとつの分子の表現学習への期待は分子グラフや分子構造の生成
- 分子生成の場合は特にDecoderが非自明で構造的な処理を実現する必要がある
- 構成性/モジュール性や化学的ルールも考慮しないと意味のない出力になり得る
- 文字列表現(SMILES記法)からの生成は直接的なのでグラフ表現の優位性も要検証

## Deep Graph Generators: A Survey

FAEZEH FAEZ<sup>1</sup>, YASSAMAN OMMI<sup>2</sup>, MAHDIEH SOLEYMANI BAGHSHAH<sup>1</sup>, AND HAMID R. RABIEE<sup>1</sup>, (Senior Member, IEEE)

<sup>1</sup>Department of Computer Engineering, Sharif University of Technology, Tehran, Iran

<sup>2</sup>Department of Mathematics and Computer Science, Amirkabir University of Technology, Tehran, Iran

Corresponding authors: Hamid R. Rabbee and Mahdieh Soleymani Baghshah (e-mails: rabiee@sharif.edu , soleymani@sharif.edu).

Category	Key Characteristic	Publications
Autoregressive DGGs	Adopting a sequential generation strategy, either node-by-node or edge-by-edge	[1]–[26]
Autoencoder-Based DGGs	Making the generation process dependent on latent space variables	[14]–[19], [27]–[39]
RL-Based DGGs	Utilizing reinforcement learning algorithms to induce desired properties in the generated graphs	[3], [20]–[26], [40]
Adversarial DGGs	Employing generative adversarial networks (GANs) [41] to generate graph structures	[20], [22], [38]–[40], [42]–[47]
Flow-based DGGs	Learning a mapping from the complicated graph distribution into a distribution mostly modeled as a Gaussian for calculating the exact data likelihood	[12], [13], [37], [48]

# 参考：グラフ的ではない特徴が依然有効な場合も

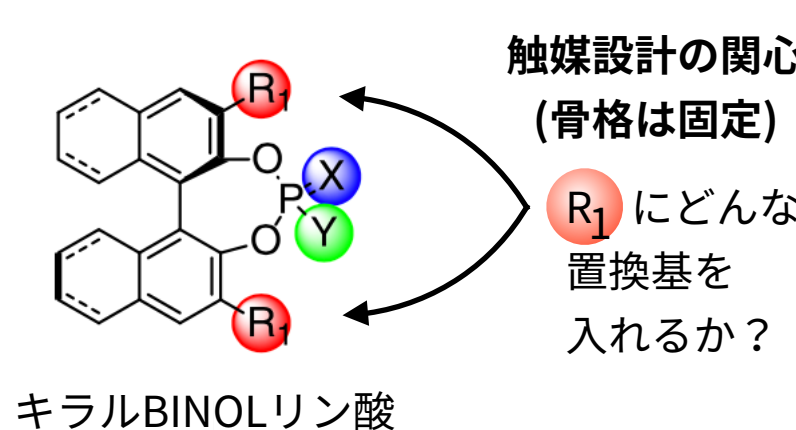
RESEARCH ARTICLE SUMMARY

Science

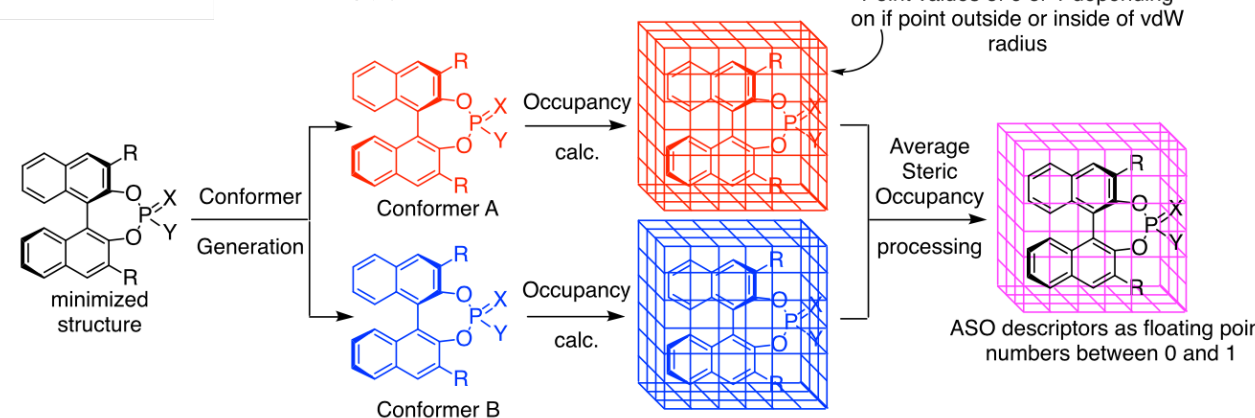
ASYMMETRIC CATALYSIS

## Prediction of higher-selectivity catalysts by computer-driven workflow and machine learning

Andrew F. Zahrt\*, Jeremy J. Henle\*, Brennan T. Rose, Yang Wang,  
William T. Darrow, Scott E. Denmark†

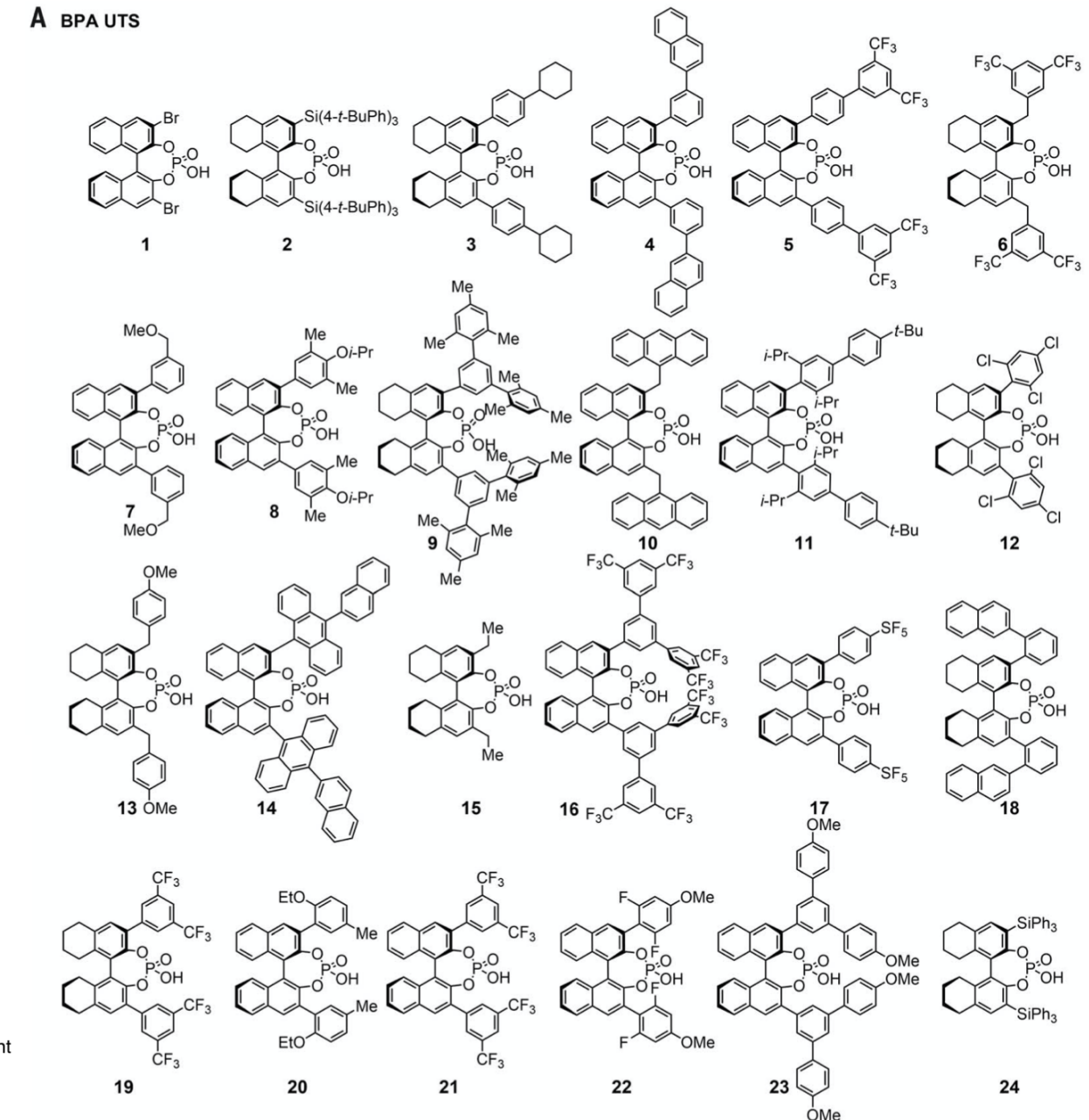


キラルBINOLリン酸



Zahrt, Henle, Rose, Wang, Darrow, Denmark,  
Prediction of higher-selectivity catalysts by computer-driven  
workflow and machine learning. *Science*, 363(6424), 2019.  
<https://doi.org/10.1126/science.aau5631>

A BPA UTS



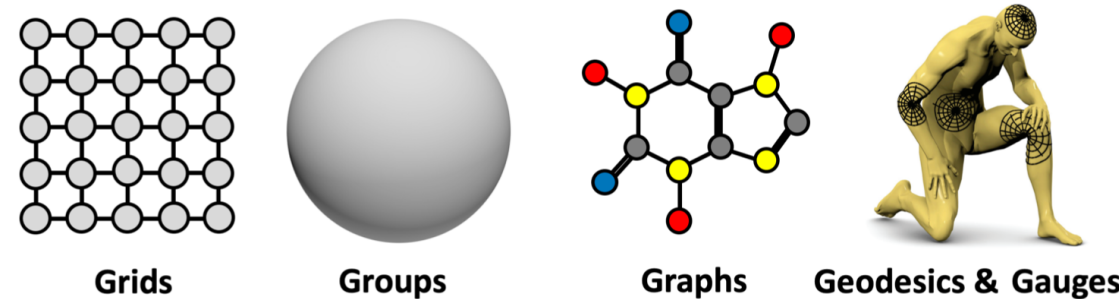
# 幾何的GNNと5G

<https://arxiv.org/abs/2104.13478>

[Submitted on 27 Apr 2021 (v1), last revised 2 May 2021 (this version, v2)]

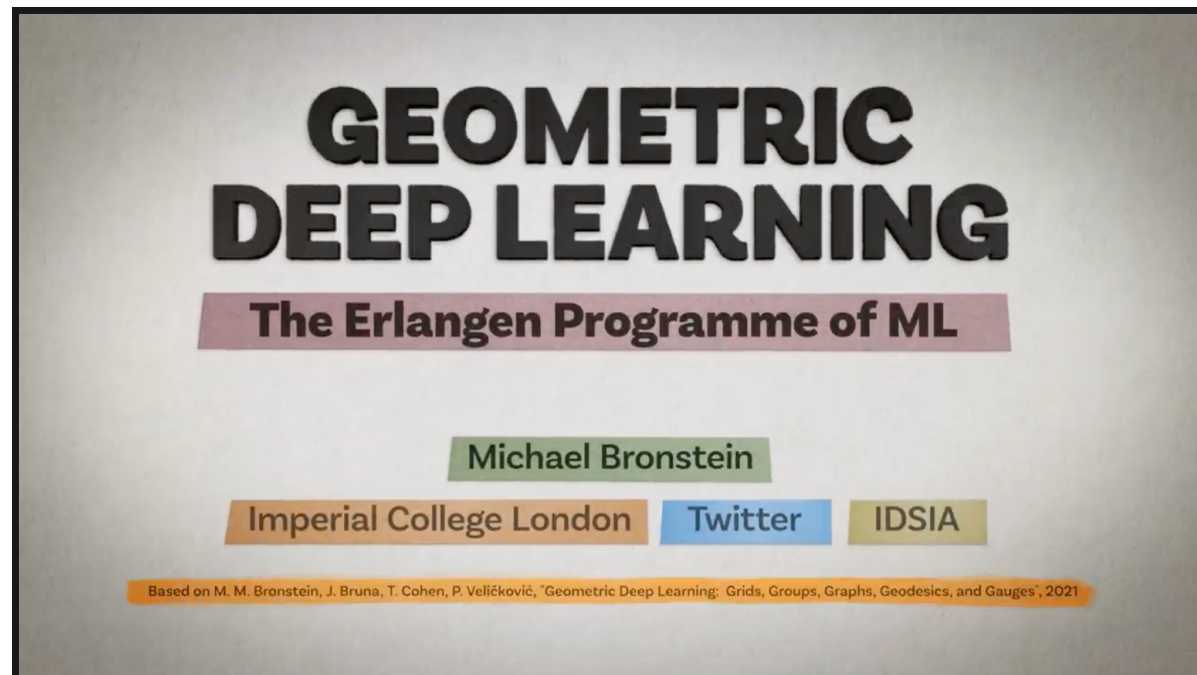
## Geometric Deep Learning: Grids, Groups, Graphs, Geodesics, and Gauges

Michael M. Bronstein, Joan Bruna, Taco Cohen, Petar Veličković



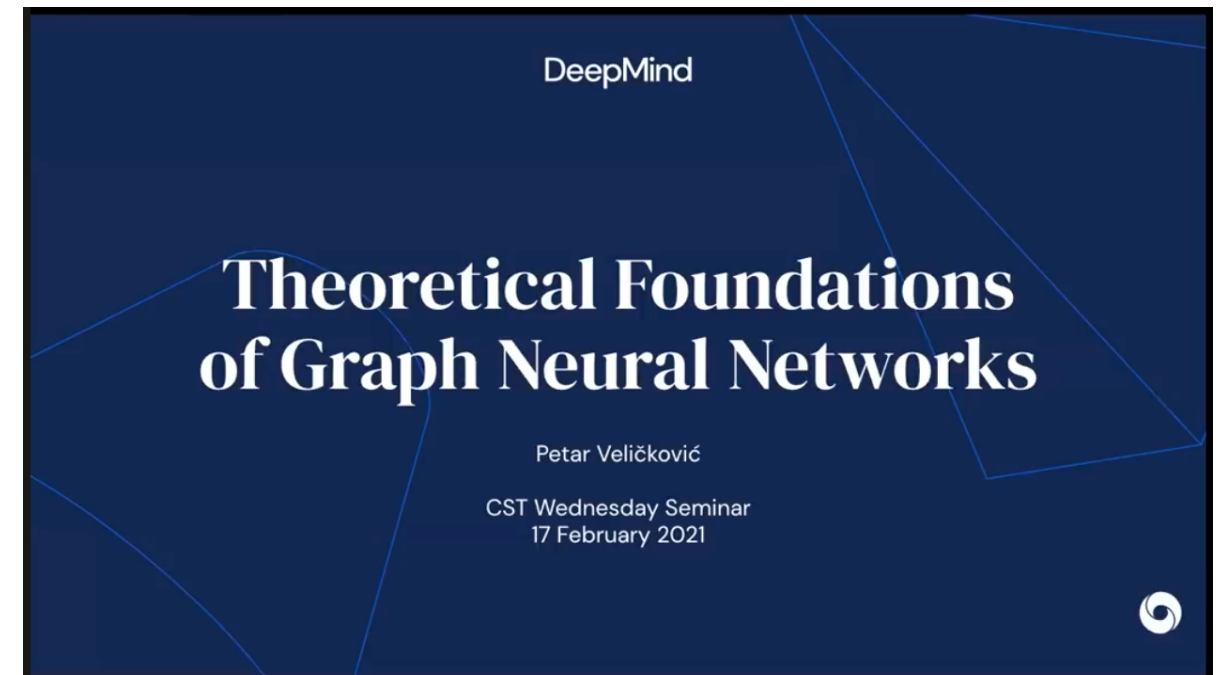
GNNは幅広い幾何構造を統一的に扱える枠組み  
(機械学習のエルランゲン・プログラム!?)  
**5Gs: Grids, Groups, Graphs, Geodesics/Gauges**

ICLR 2021 Keynote (Michael Bronstein)



<https://youtu.be/w6Pw4MOzMuo>

Seminar Talk (Petar Veličković)



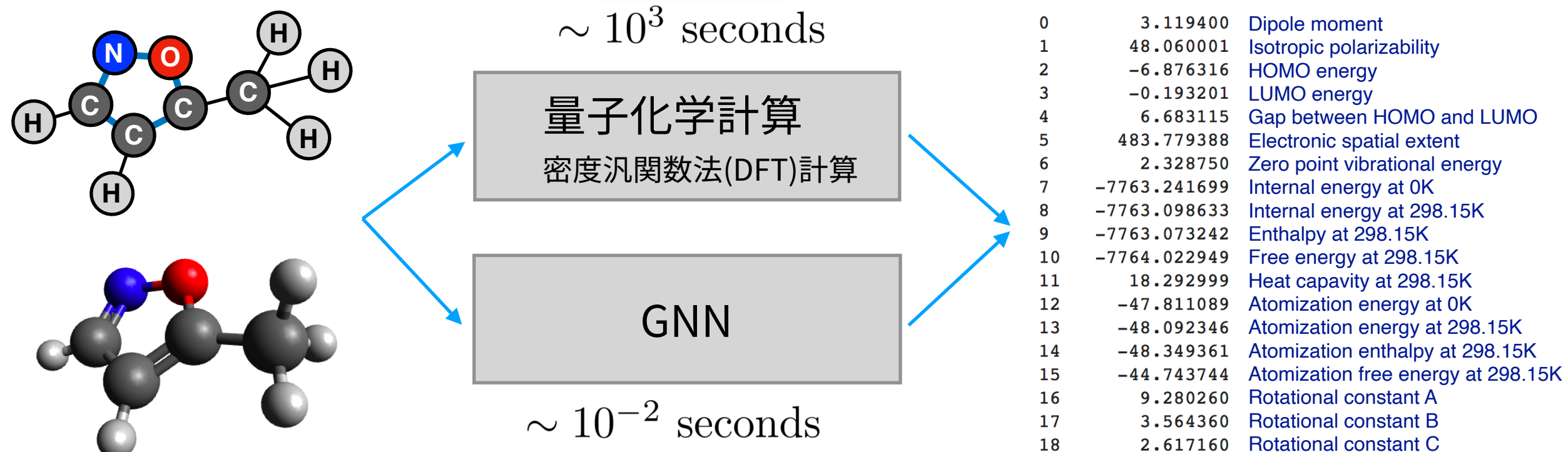
<https://youtu.be/uF53xsT7mjc>

# 新たな問題とニーズ: 量子化学計算の高精度高速近似

理論に基づく演繹的なシミュレーション計算を機械学習で代理させるニーズ

特に分子動力学計算(MD計算)などの用途で高精度な**原子間ポテンシャル**がほしい！

(与えられた原子の空間位置から原子系のポテンシャルエネルギーを計算する関数)



ICML 2017 <https://arxiv.org/abs/1704.01212>

JCTC 2017 <https://doi.org/10.1021/acs.jctc.7b00577>

Neural Message Passing for **Quantum Chemistry**

Justin Gilmer<sup>1</sup> Samuel S. Schoenholz<sup>1</sup> Patrick F. Riley<sup>2</sup> Oriol Vinyals<sup>3</sup> George E. Dahl<sup>1</sup>

**JCTC**  
Journal of Chemical Theory and Computation

Article

[pubs.acs.org/JCTC](https://pubs.acs.org/JCTC)

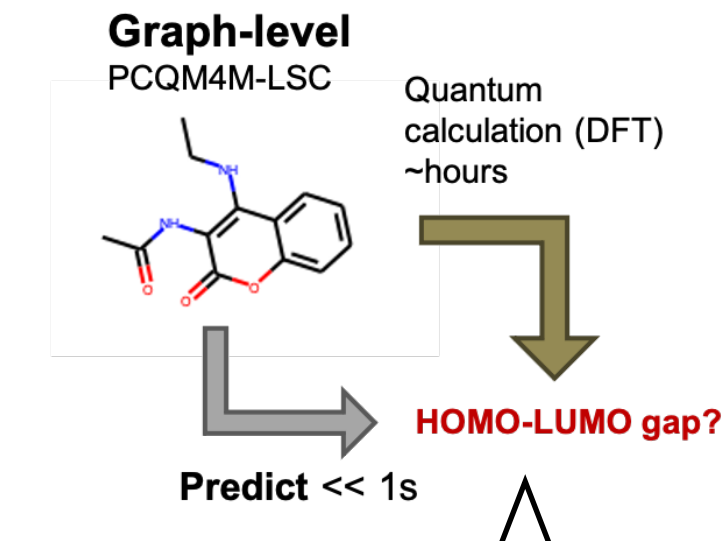
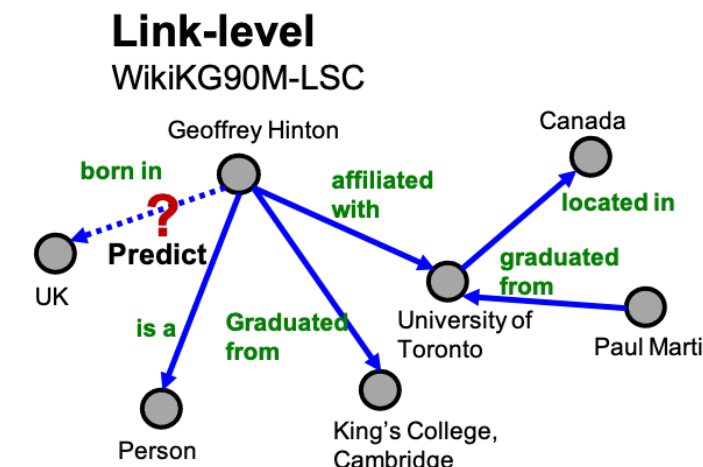
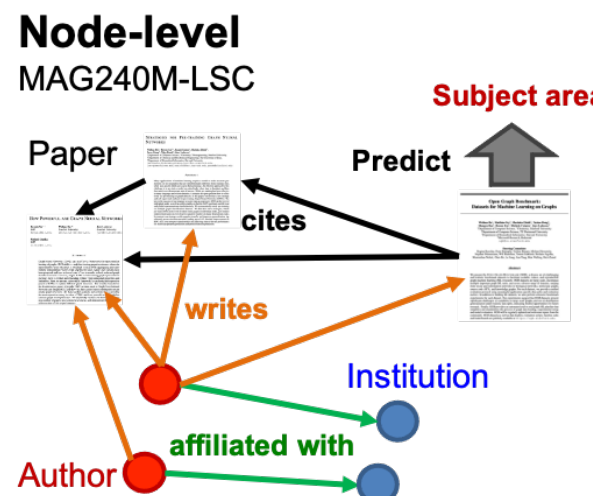
**Prediction Errors of Molecular Machine Learning Models Lower than Hybrid DFT Error**

Felix A. Faber,<sup>†</sup> Luke Hutchison,<sup>‡</sup> Bing Huang,<sup>†</sup> Justin Gilmer,<sup>†</sup> Samuel S. Schoenholz,<sup>‡</sup> George E. Dahl,<sup>‡</sup> Oriol Vinyals,<sup>‡</sup> Steven Kearnes,<sup>‡</sup> Patrick F. Riley,<sup>‡</sup> and O. Anatole von Lilienfeld\*,<sup>†</sup>

# 例：OGB Large-Scale Challenge (KDDCup2021)



<https://ogb.stanford.edu/kddcup2021/>



2Dの分子グラフから量子化学計算(DFT計算)で求めたHOMO-LUMOギャップを予測するタスク  
データセット：PubChemQCから3,803,453グラフ (cf. QM9は133,885グラフ)

**Results:** [https://ogb.stanford.edu/kddcup2021/results/#awardees\\_pcqm4m](https://ogb.stanford.edu/kddcup2021/results/#awardees_pcqm4m)

**1st place:** Test MAE 0.1200 (eV) 10 GNNs (12-Layer Graphomer) + 8 ExpC\*s (5-Layer ExpandingConv)

**2nd place:** Test MAE 0.1204 (eV) 73 GNNs (11-Layer LiteGEMConv with Self-Supervised Pretraining)

**3rd place:** Test MAE 0.1205 (eV) 20 GNNs (32-Layer GNN with Noisy Nodes)

# 幾何的GNNで使われる分子表現

## オリジナルのECFP原子不变量

- the number of immediate neighbors who are “heavy” (non-hydrogen) atoms
- the valence minus the number of hydrogens
- the atomic number
- the atomic mass
- the atomic charge
- the number of attached hydrogens
- whether the atom is contained in at least one ring

Daylight  
原子不变量

## オリジナルのFCFP原子不变量

- hydrogen-bond acceptor or not?
- hydrogen-bond donor or not?
- negatively ionizable or not?
- positively ionizable or not?
- aromatic or not?
- halogen or not?

Rogers and Hahn, *JCIM* (2005) <https://doi.org/10.1021/ci100050t>

## MPNNによる量子化学計算近似で用いられた頂点・辺特徴

Table 1. Atom Features for the MG Representation<sup>a</sup>

feature	description
atom type	H, C, N, O, F (one-hot)
chirality	R or S (one-hot or null)
formal charge	integer electronic charge
ring sizes	for each ring size (3–8), the number of rings that include this atom
hybridization	$sp$ , $sp^2$ , or $sp^3$ (one-hot or null)
hydrogen bonding	whether this atom is a hydrogen bond donor and/or acceptor (binary values)
aromaticity	whether this atom is part of an aromatic system

Table 2. Atom Pair Features for the MG Representation<sup>a</sup>

feature	description
bond type	single, double, triple, or aromatic (one-hot or null)
graph distance	for each distance (1–7), whether the shortest path between the atoms in the pair is less than or equal to that number of bonds (binary values)
same ring	whether the atoms in the pair are in the same ring
spatial distance	the Euclidean distance between the two atoms

連続量ラベル

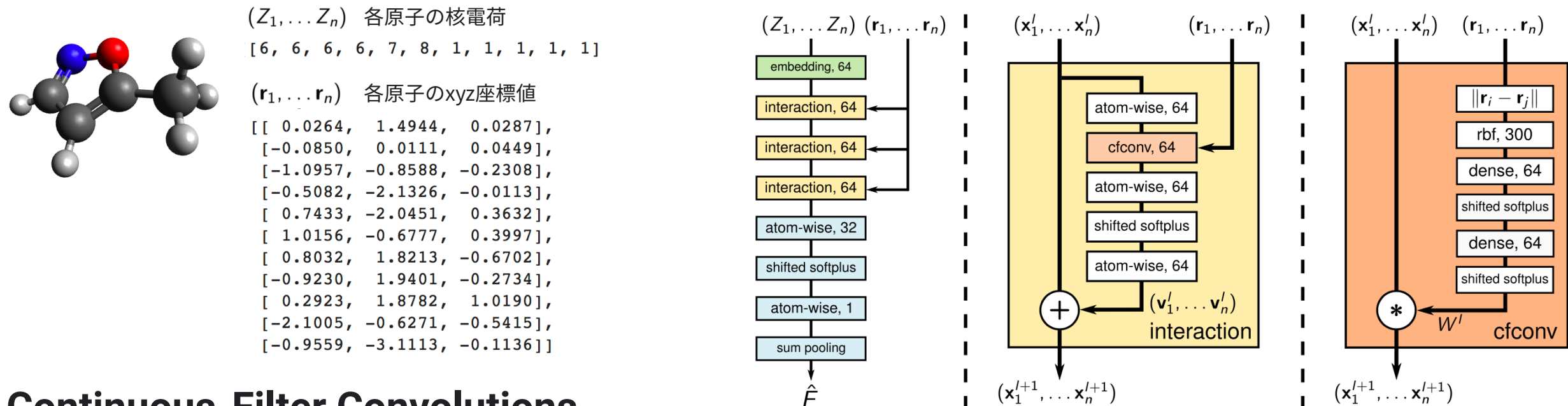
Faber et al, *JCTC* (2017) <https://doi.org/10.1021/acs.jctc.7b00577>

# SchNetとContinuous-Filter Convolutions

各原子の核電荷とxyz座標値だけが与えられるときの代表的GNN (Schütt+ NeurIPS 2017)

Schütt, Kindermans, Sauceda, Chmiela, Tkatchenko, Müller,

SchNet: A continuous-filter convolutional neural network for modeling quantum interactions. <https://arxiv.org/abs/1706.08566>



## Continuous-Filter Convolutions (cfconv layers)

$$x_i \leftarrow \sum_{j \in \mathcal{N}_i} x_j \odot \phi(\exp(-\gamma(d_{ij} - \mu)))$$

element-wise product

$\dim \text{of } x_i$

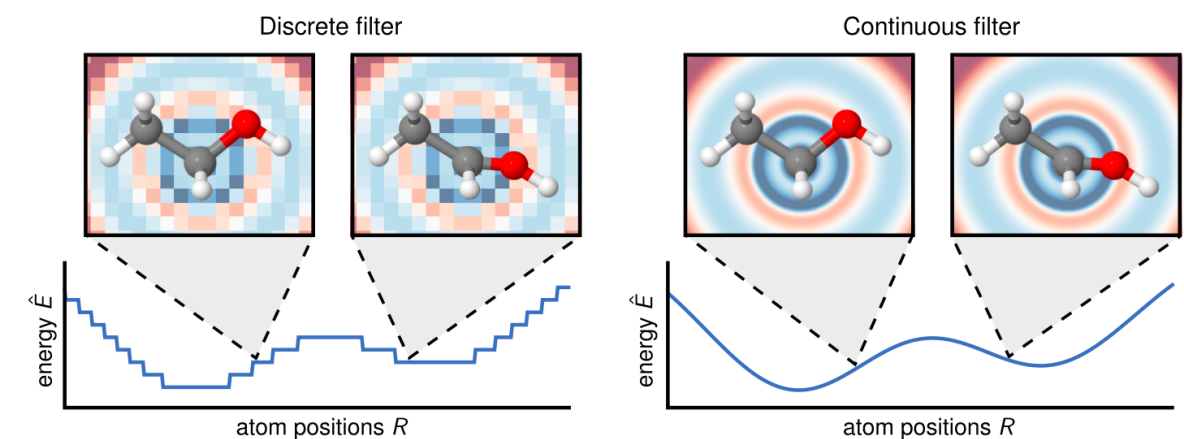
$\# \text{rbf}$

Gaussian Smearing

$\text{MLP} \leftarrow$

$\text{rbf}(\gamma, \mu) \leftarrow d_{ij}$

画像など離散グリッドのConvolution演算の連続拡張になっている



# ユークリッドの運動群に関する不变性・同変性

原子のxyz座標値をそのまま頂点特徴量にするのは× (代案の例: 原子間距離を辺特徴に)

平行移動や回転でxyzは変わるが例えばその分子のエネルギーは変わらない

**幾何的GNNでは基本的な要請  
(特に量子化学計算近似の場合)**

- ユークリッド群  $E(3)$  : 3Dの並進・回転対称性
- 特殊ユークリッド群  $SE(3)$  : 3Dの並進・回転・鏡像対称性

写像  $f : X \rightarrow Y$  が変換  $g \in G$  に関して

**不变 (invariant)**  $f(g \cdot x) = f(x)$  変換してもしないときと変わらない

**同変 (equivariant)**  $f(g \cdot x) = g \cdot f(x)$  変換してから写像しても写像してから変換しても変わらない

頂点や辺の特徴量やGNN(=写像)のデザインで実現する

E(3)不变	Schütt et al, <a href="https://arxiv.org/abs/1706.08566">SchNet</a> . (2017) <a href="https://arxiv.org/abs/1706.08566">https://arxiv.org/abs/1706.08566</a>
	Unke et al, <a href="https://arxiv.org/abs/1902.08408">PhysNet</a> . (2019) <a href="https://arxiv.org/abs/1902.08408">https://arxiv.org/abs/1902.08408</a>
	Klicpera et al, <a href="https://arxiv.org/abs/2011.14115">DimeNet++</a> . (2020) <a href="https://arxiv.org/abs/2011.14115">https://arxiv.org/abs/2011.14115</a>
SE(3)同変	Anderson et al, <a href="https://arxiv.org/abs/1906.04015">Cormorant</a> . (2019) <a href="https://arxiv.org/abs/1906.04015">https://arxiv.org/abs/1906.04015</a>
	Fuchs et al, <a href="https://arxiv.org/abs/2006.10503">SE(3)-Transformers</a> . (2021) <a href="https://arxiv.org/abs/2006.10503">https://arxiv.org/abs/2006.10503</a>
E(3)同変	Thomas et al, <a href="https://arxiv.org/abs/1802.08219">Tensor Field Networks</a> . (2018) <a href="https://arxiv.org/abs/1802.08219">https://arxiv.org/abs/1802.08219</a>
	Köhler et al, <a href="https://arxiv.org/abs/2006.02425">Equivariant Flows (Radial Field)</a> . (2020) <a href="https://arxiv.org/abs/2006.02425">https://arxiv.org/abs/2006.02425</a>
	Satorras et al, <a href="https://arxiv.org/abs/2102.09844">E(n) Equivariant Graph Neural Networks</a> . (2021) <a href="https://arxiv.org/abs/2102.09844">https://arxiv.org/abs/2102.09844</a>

# 化学でのホットトピックであるだけでなく…

Science

**REVIEW**

## Inverse molecular design using machine learning: Generative models for matter engineering

Benjamin Sanchez-Lengeling<sup>1</sup> and Alán Aspuru-Guzik<sup>2,3,4\*</sup>

## Prediction of higher-selectivity catalysts by computer-driven workflow and machine learning

Andrew F. Zahrt\*, Jeremy J. Henle\*, Brennan T. Rose, Yang Wang, William T. Darrow, Scott E. Denmark†

nature reviews chemistry

**REVIEWS**

## Synthetic organic chemistry driven by artificial intelligence

A. Filipa de Almeida<sup>1</sup>, Rui Moreira<sup>1</sup> and Tiago Rodrigues<sup>2\*</sup>

nature

**REVIEW**

## Machine learning for molecular and materials science

Keith T. Butler<sup>1</sup>, Daniel W. Davies<sup>2</sup>, Hugh Cartwright<sup>3</sup>, Olexandr Isayev<sup>4\*</sup> & Aron Walsh<sup>5,6\*</sup>

## Planning chemical syntheses with deep neural networks and symbolic AI

Marwin H. S. Segler<sup>1,2</sup>, Mike Preuss<sup>3</sup> & Mark P. Waller<sup>4</sup>

## Holistic prediction of enantioselectivity in asymmetric catalysis

Jolene P. Reid<sup>1</sup> & Matthew S. Sigman<sup>1\*</sup>

## Bayesian reaction optimization as a tool for chemical synthesis

Benjamin J. Shields<sup>1</sup>, Jason Stevens<sup>2</sup>, Jun Li<sup>2</sup>, Marvin Parasram<sup>1</sup>, Farhan Damani<sup>3</sup>, Jesus I. Martinez Alvarado<sup>1</sup>, Jacob M. Janey<sup>2</sup>, Ryan P. Adams<sup>3</sup> & Abigail G. Doyle<sup>1</sup>

**PERSPECTIVES**

## Exploring chemical compound space with quantum-based machine learning

O. Anatole von Lilienfeld, Klaus-Robert Müller and Alexandre Tkatchenko

# 機械学習分野のホットトピックでもある！

---

## NeurIPS 2020

- *Self-Supervised Graph Transformer on Large-Scale Molecular Data*
- *RetroXpert: Decompose Retrosynthesis Prediction Like A Chemist*
- *Reinforced Molecular Optimization with Neighborhood-Controlled Grammars*
- *Autofocused Oracles for Model-based Design*
- *Barking Up the Right Tree: an Approach to Search over Molecule Synthesis DAGs*
- *On the Equivalence of Molecular Graph Convolution and Molecular Wave Function with Poor Basis Set*
- *CogMol: Target-Specific and Selective Drug Design for COVID-19 Using Deep Generative Models*

## ICLR 2020, 2021

- *Directional Message Passing for Molecular Graphs*
- *GraphAF: a Flow-based Autoregressive Model for Molecular Graph Generation*
- *Augmenting Genetic Algorithms with Deep Neural Networks for Exploring the Chemical Space*
- *A Fair Comparison of Graph Neural Networks for Graph Classification*
- *MARS: Markov Molecular Sampling for Multi-objective Drug Discovery*
- *Practical Massively Parallel Monte-Carlo Tree Search Applied to Molecular Design*
- *Learning Neural Generative Dynamics for Molecular Conformation Generation*
- *Conformation-Guided Molecular Representation with Hamiltonian Neural Networks*
- *Symmetry-Aware Actor-Critic for 3D Molecular Design*

## ICML 2020, 2021

- *A Graph to Graphs Framework for Retrosynthesis Prediction*
- *Hierarchical Generation of Molecular Graphs using Structural Motifs*
- *Learning to Navigate in Synthetically Accessible Chemical Space Using Reinforcement Learning*
- *Reinforcement Learning for Molecular Design Guided by Quantum Mechanics*
- *Multi-Objective Molecule Generation using Interpretable Substructures*
- *Improving Molecular Design by Stochastic Iterative Target Augmentation*
- *A Generative Model for Molecular Distance Geometry*
- *GraphDF: A Discrete Flow Model for Molecular Graph Generation*
- *An End-to-End Framework for Molecular Conformation Generation via Bilevel Programming*
- *Equivariant message passing for the prediction of tensorial properties and molecular spectra*
- *Learning Gradient Fields for Molecular Conformation Generation*
- *Self-Improved Retrosynthetic Planning*

# 課題と展望

- 量子化学計算などデータが計算由来の場合、機械学習で良い代理モデルを作るための周到なデータ獲得計画が課題(計算がゲームの場合のように軽くない)
- 適切な帰納バイアスの設計が課題  
Chemical Spaceは広大すぎるので第一原理(量子化学)や熱力学、ConformerやDynamicsなど演繹的物理制約を用いてモデルを制約/正則化するのが有望?
- 幾何的GNNの得意タスクはKashimaカーネルやSOAPカーネル+GAP等でも解けるので実用レベルの表現学習の試金石は大規模事前学習+few-shot/zero-shot転移の実現?
- 大規模なデータがあれば分子の表現学習にブレイクスルーは起こるのか?  
汎用モデルと帰納バイアス: CNNs vs Transformers vs GNNs vs MLPs

## CHEMICAL REVIEWS

[pubs.acs.org/CR](https://pubs.acs.org/CR)

### Combining Machine Learning and Computational Chemistry for Predictive Insights Into Chemical Systems

John A. Keith,\* Valentin Vassilev-Galindo, Bingqing Cheng, Stefan Chmiela, Michael Gastegger, Klaus-Robert Müller,\* and Alexandre Tkatchenko\*

 Cite This: <https://doi.org/10.1021/acs.chemrev.1c00107>

 Read Online

<https://arxiv.org/abs/2102.06321>



Review

NATURE REVIEWS | CHEMISTRY

PERSPECTIVES

### Exploring chemical compound space with quantum-based machine learning

O. Anatole von Lilienfeld, Klaus-Robert Müller and Alexandre Tkatchenko<sup>ID</sup>

Abstract | Rational design of compounds with specific properties requires understanding and fast evaluation of molecular properties throughout chemical

when charting CCS suggests that there is an analogy to constellations of stars in the universe. Constellations, like molecules, have names and, more importantly, have been useful for orientation and navigation. Similarly, property patterns throughout chemical space can be combined in 'constellations', from which properties of new molecules of interest can be calculated using linear or non-linear combination of properties of known molecules or molecular fragments. Although relationships for stars and planets are rather well understood, a

<https://arxiv.org/abs/1911.10084>

# 本日の話題：分子のグラフ表現 + 機械学習

